

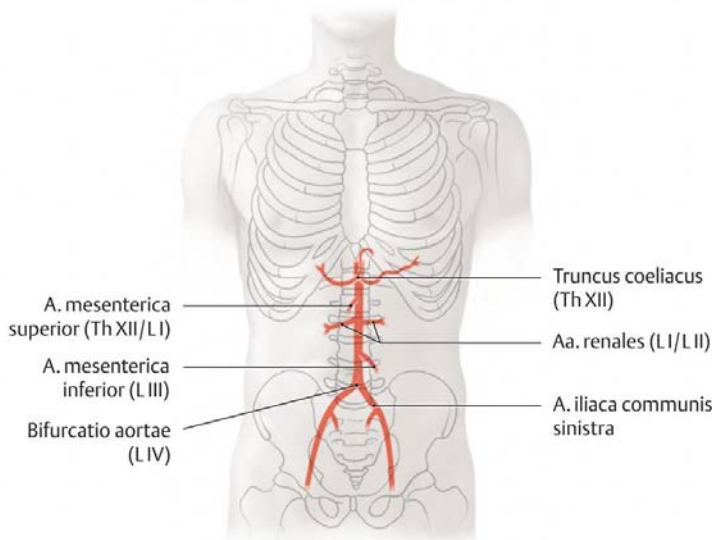
Blood supply, lymphatics and innervation of the abdominal organs.

MALT. Nasal cavity, paranasal sinuses, nasopharynx.

Literatura: Schünke M, Schulte E, Schumacher U:
Lernatlas der Anatomie, Thieme, Stuttgart 2005

Autor: Zdenek Halata, Department of Anatomy, 1st.med.fac.
Charles University, Prague 2012

Projection of the abdominal aorta and main branches

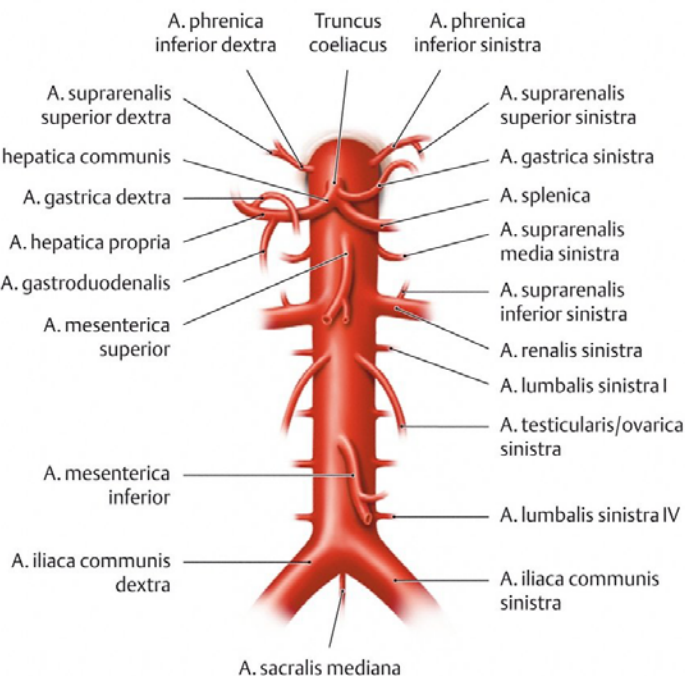


B Projektion der Aorta abdominalis und ihrer Hauptäste auf Wirbelsäule und Becken

Ansicht von ventral

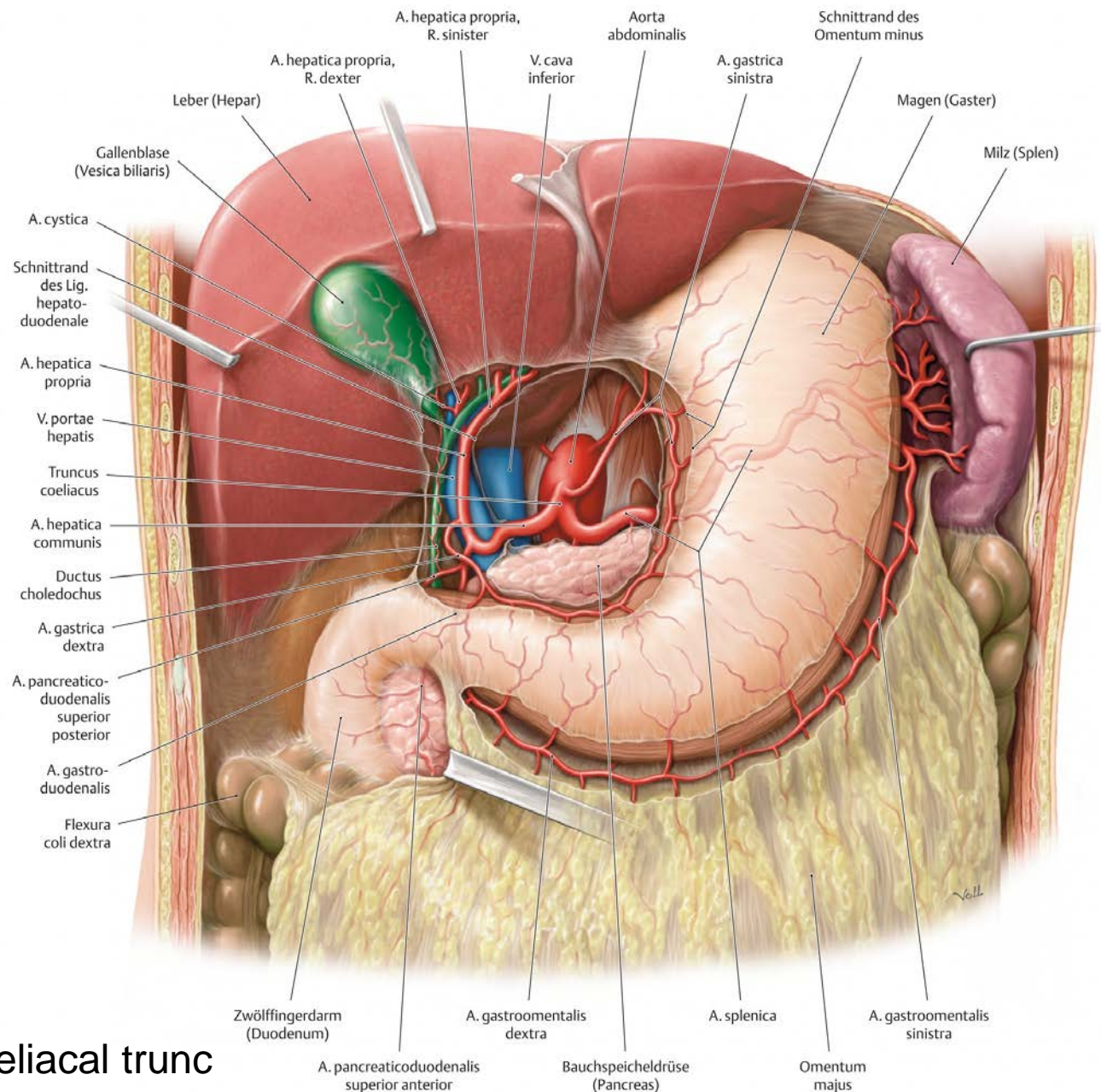
 PROMETHEUS Lernatlas der Anatomie · Hals und Innere Organe
M. Schünke, E. Schulte, U. Schumacher. Illustrator: M. Voll
© Georg Thieme Verlag 2006 · Alle Rechte vorbehalten · www.thieme.de/prometheus

Main branches of the abdominal aorta



C Astfolge der Aorta abdominalis

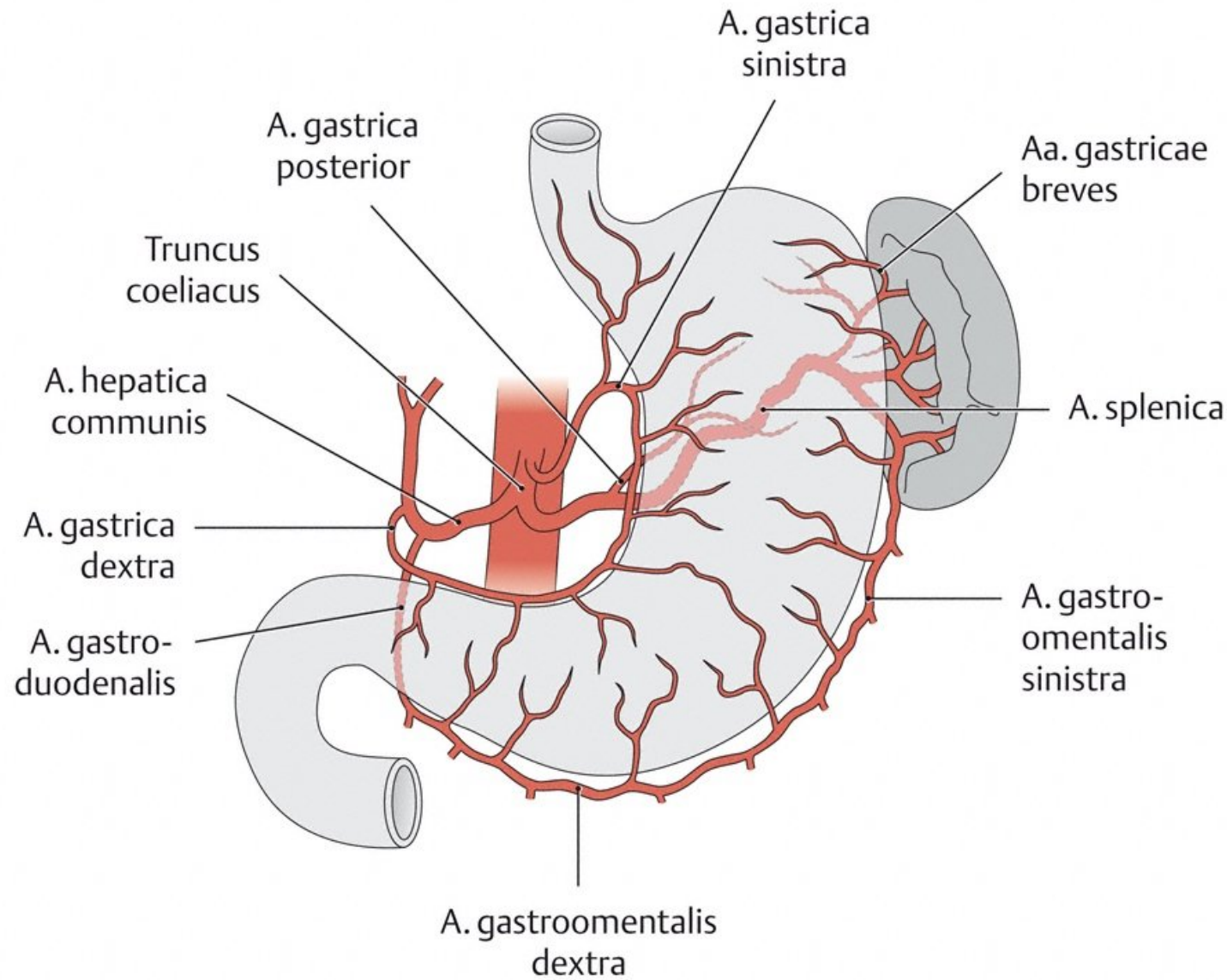
 PROMETHEUS Lernatlas der Anatomie · Hals und Innere Organe
M. Schünke, E. Schulte, U. Schumacher. Illustrator: M. Voll
© Georg Thieme Verlag 2006 · Alle Rechte vorbehalten · www.thieme.de/prometheus

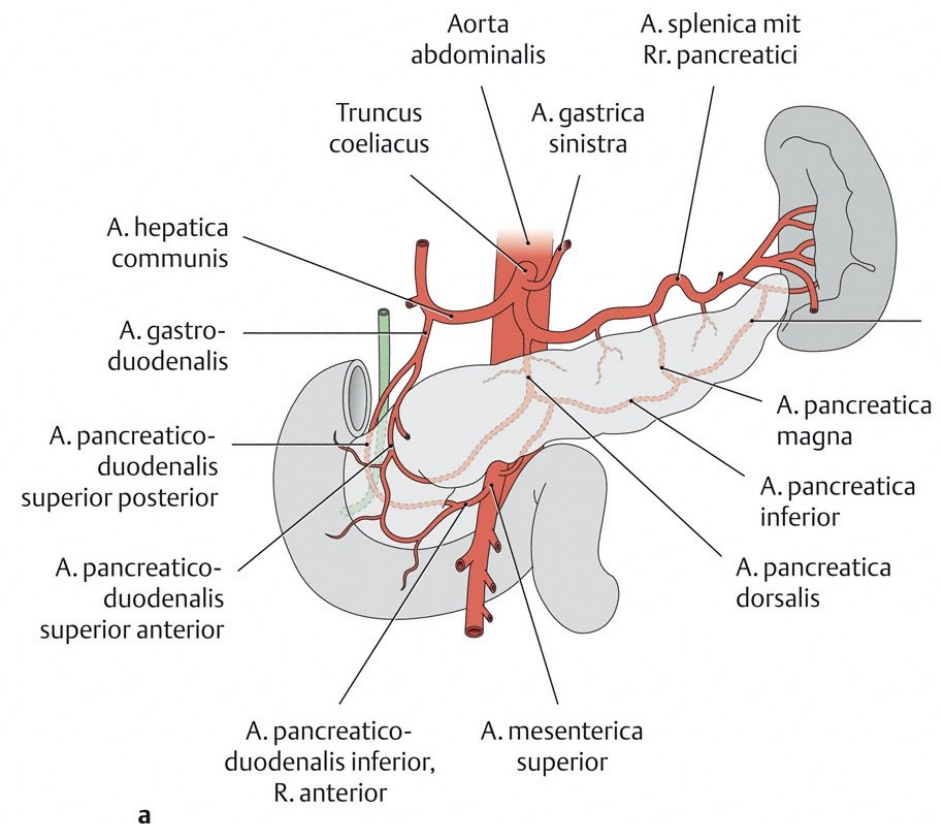


Coeliacal trunc

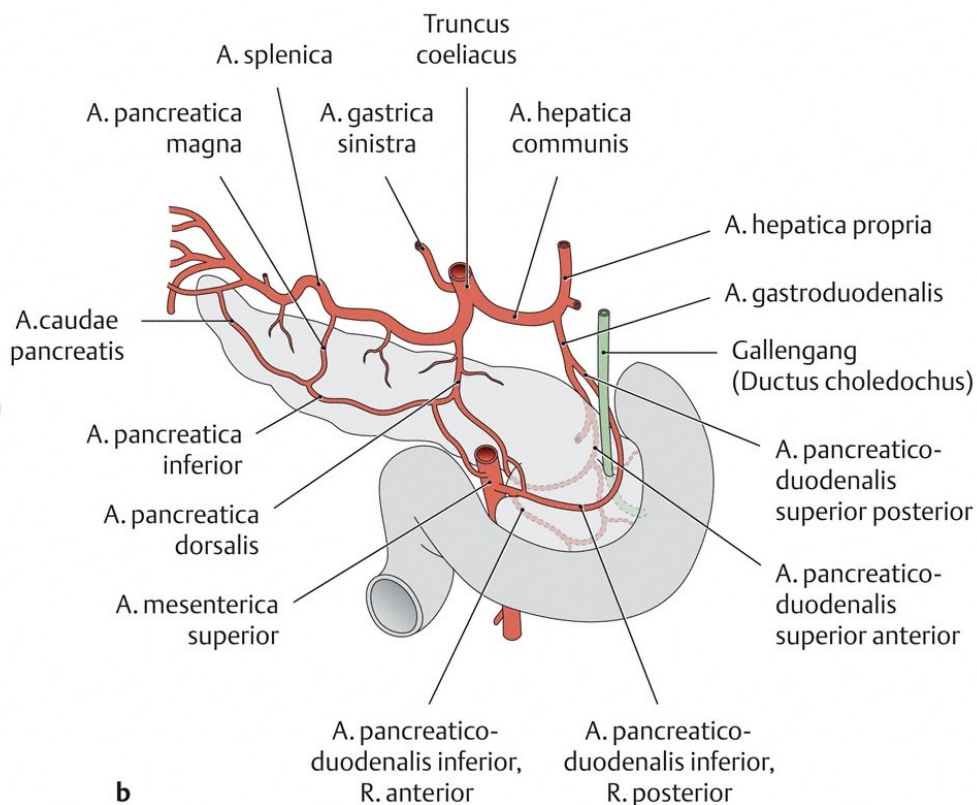
A Truncus coeliacus und Arterien zu Magen, Leber und Gallenblase

Ansicht von ventral. Omentum minus eröffnet zur Sicht auf den Truncus;
Omentum majus eingeschnitten zur Darstellung der Aa. gastroomentales





a



b

C Arterielle Versorgung des Pancreas

a Ansicht von ventral | b Ansicht von dorsal

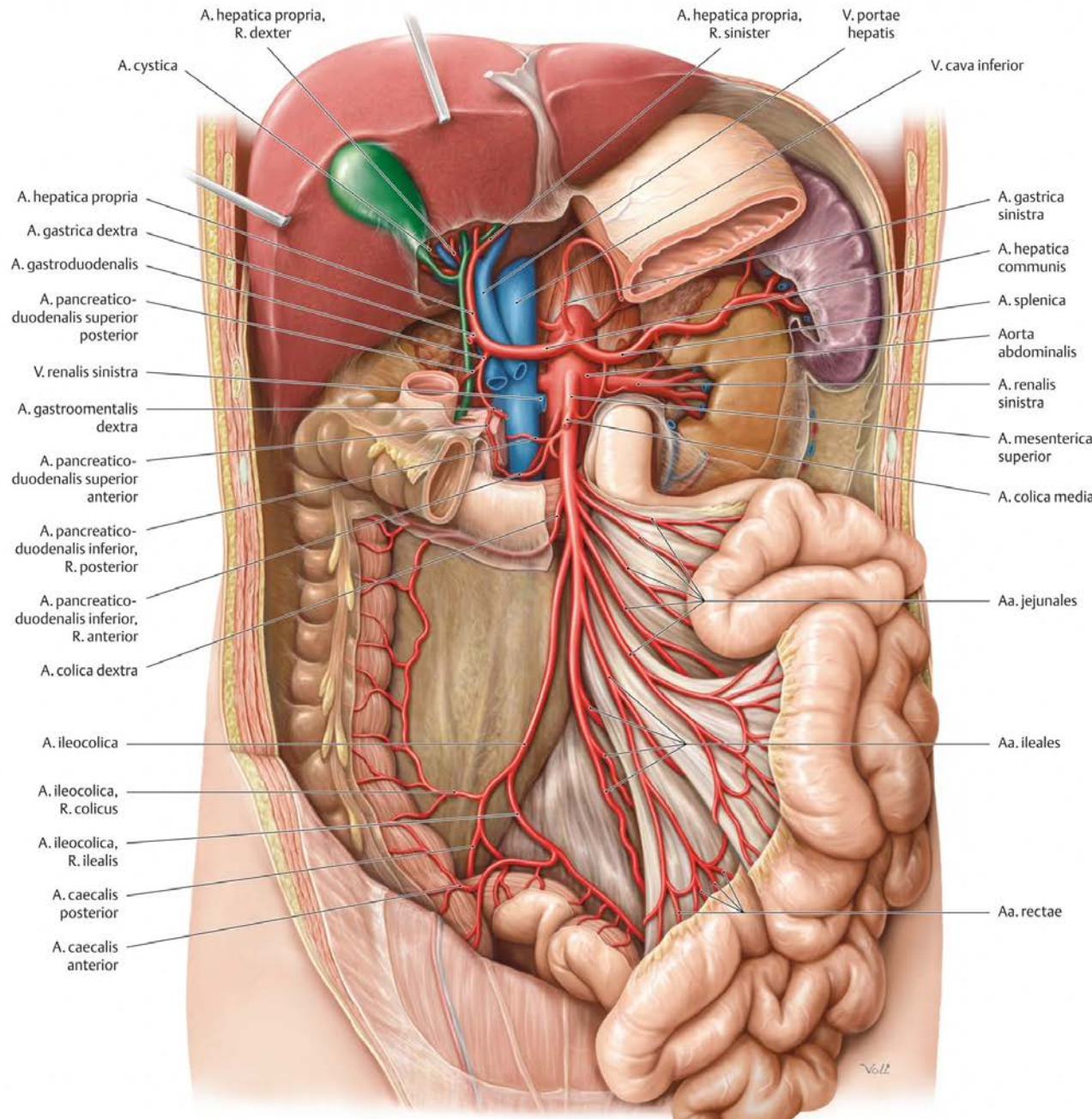
Arteries of the pancreas



PROMETHEUS Lernatlas der Anatomie · Hals und Innere Organe

M. Schünke, E. Schulte, U. Schumacher. Illustrator: M. Voll

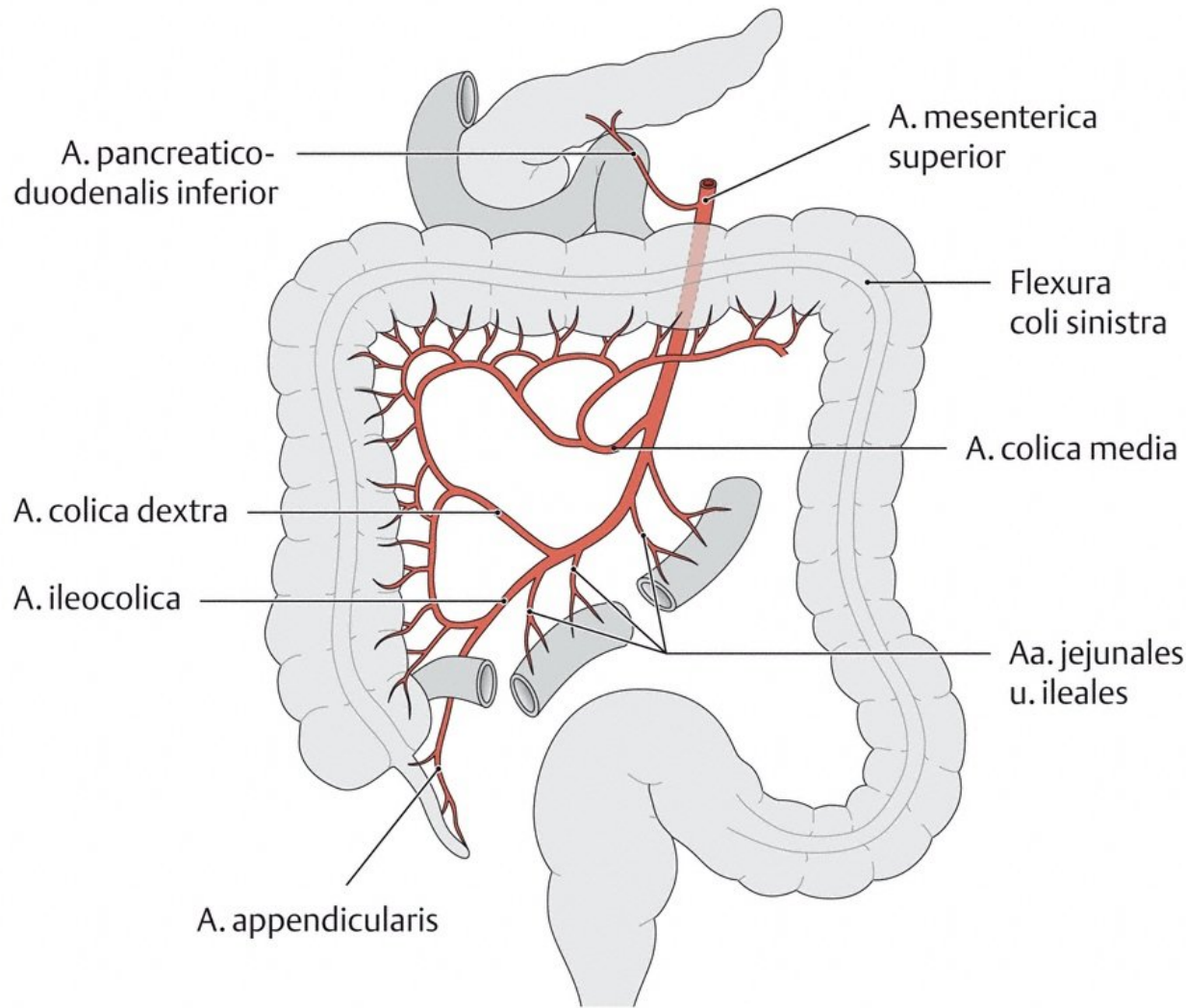
© Georg Thieme Verlag 2006 · Alle Rechte vorbehalten · www.thieme.de/prometheus



Branches of the superior mesenteric artery

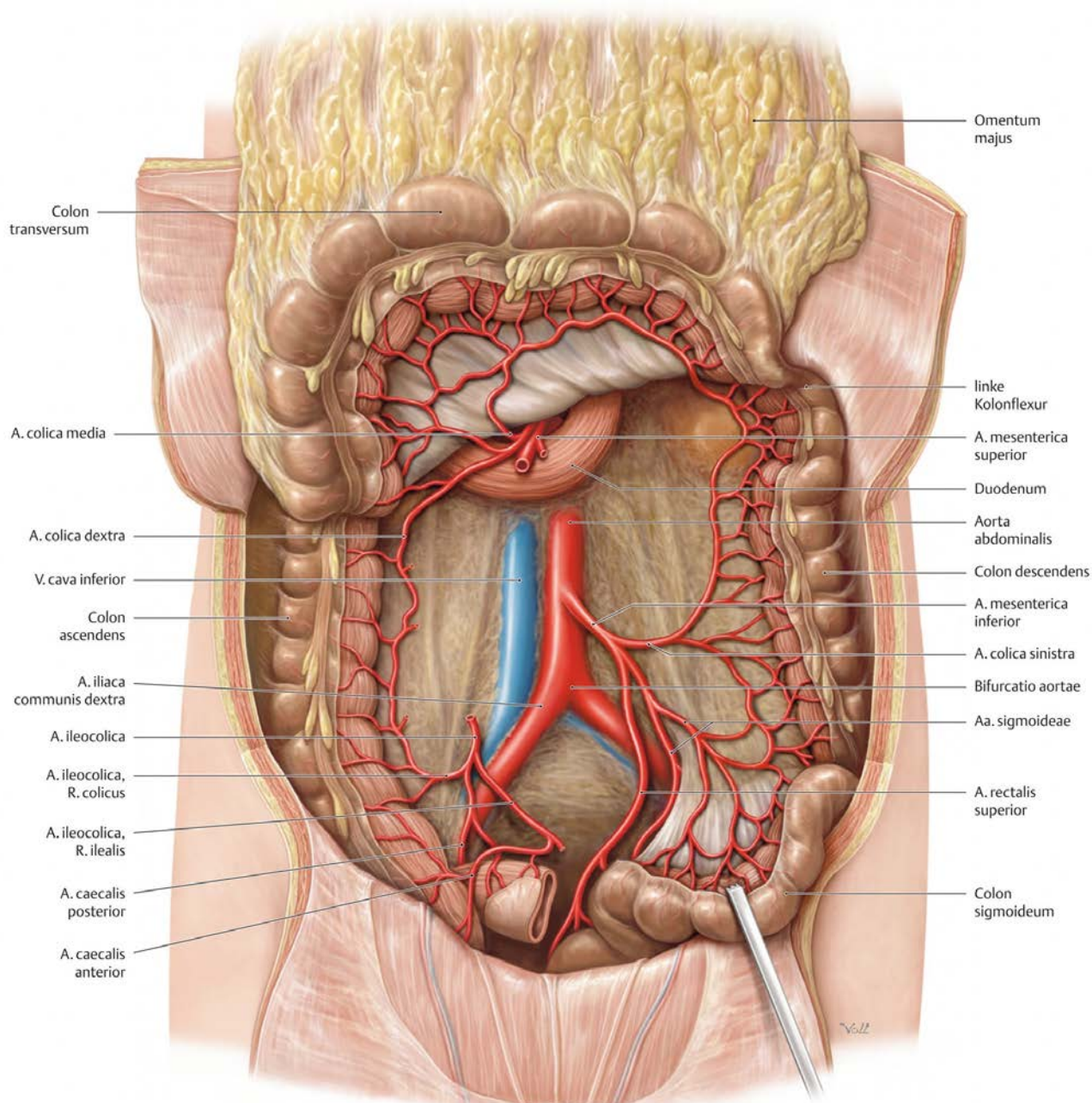
A Versorgungsgebiet und Äste der A. mesenterica superior

Ansicht von ventral



Branches of the superior mesenteric artery

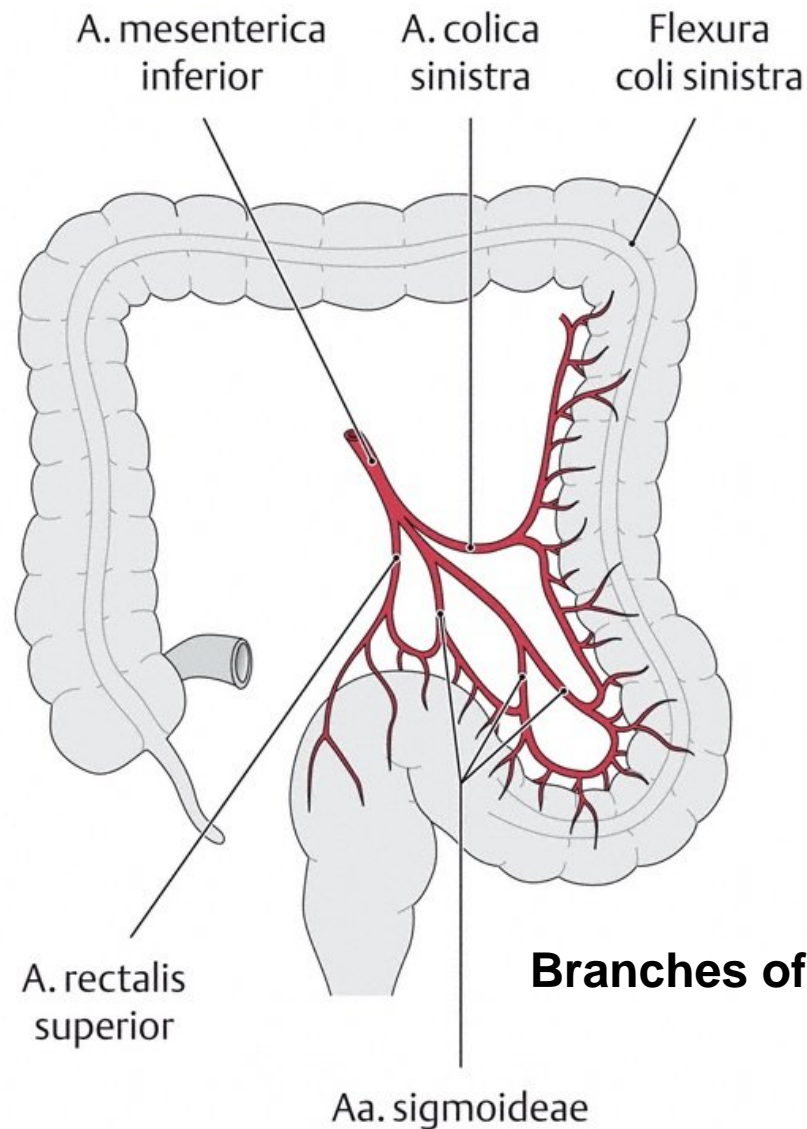
C Astfolge der A. mesenterica superior (vgl. E)



Branches of the inferior mesenteric artery

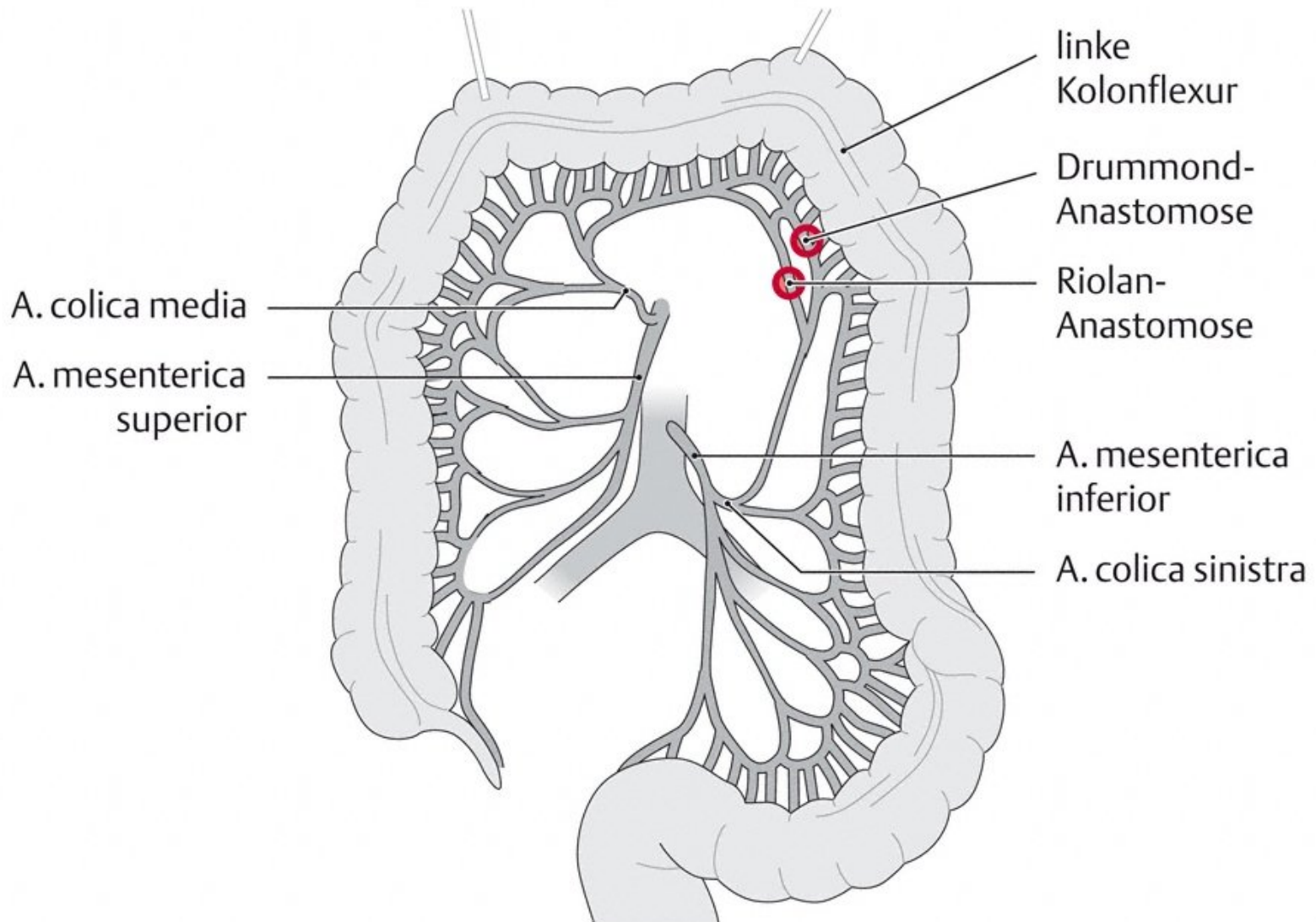
A Arterielle Versorgung des Dickdarms durch die A. mesenterica superior und inferior

Ansicht von ventral, Jejunum und grösster Teil des Ileum entfernt



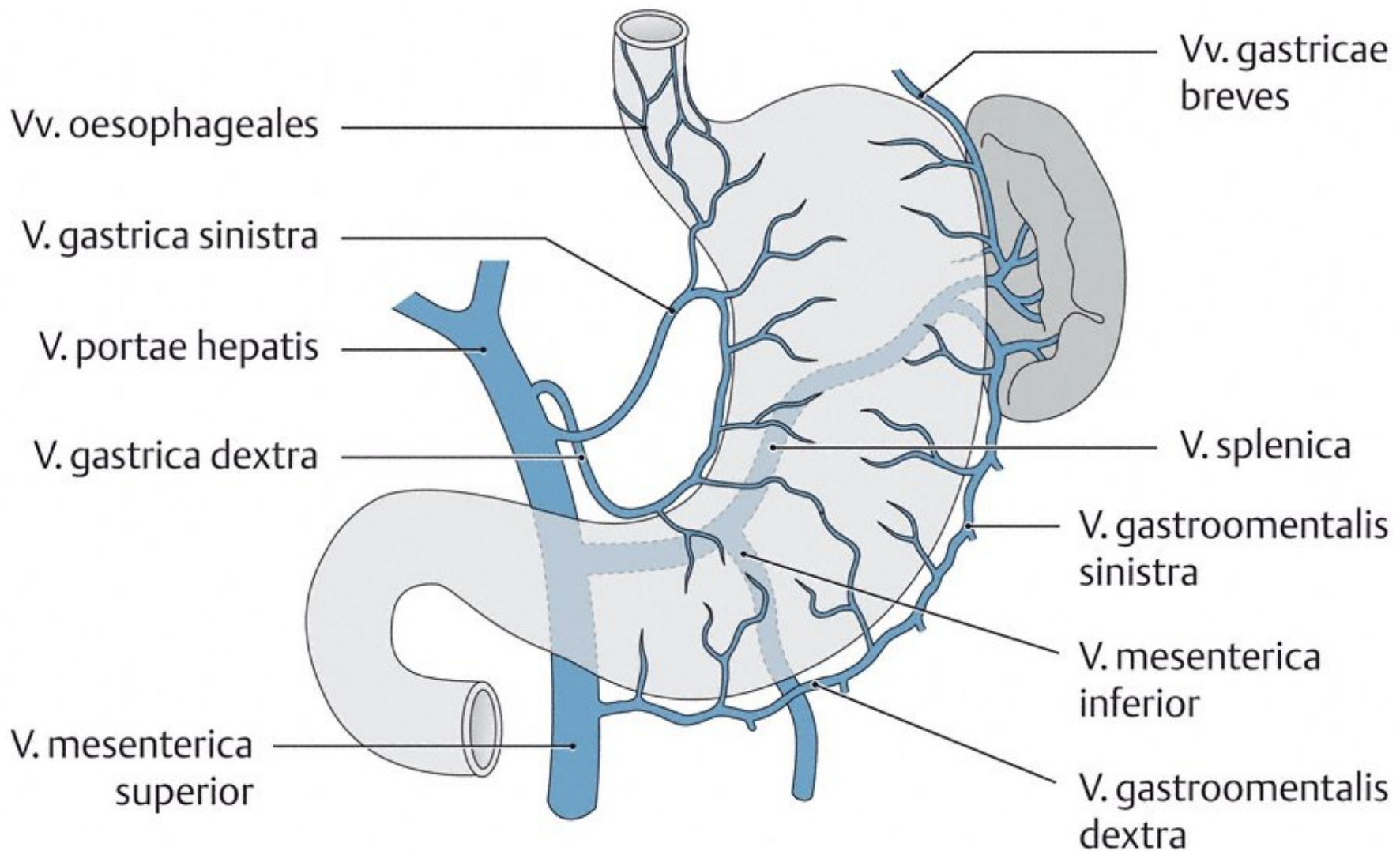
Branches of the inferior mesenteric artery

C Astfolge der A. mesenterica inferior (s. auch D, S. 263)



Bypasses between medial colic and sinistra colic arteries

**F Arterielle Kurzschlüsse zwischen
A. colica media und sinistra**

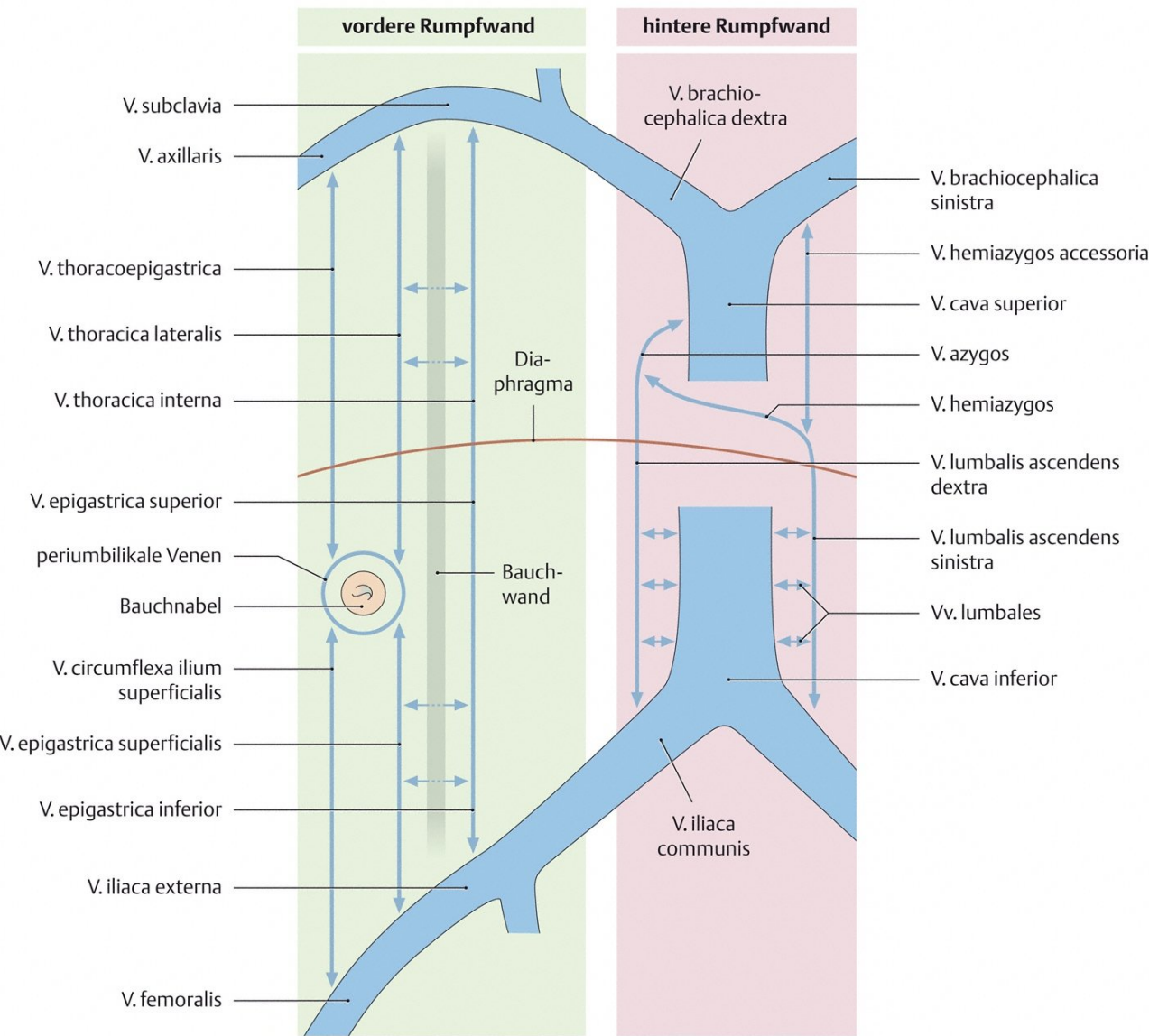


Veins of the stomach

B Mündung der V. mesenterica inferior in die V. splenica

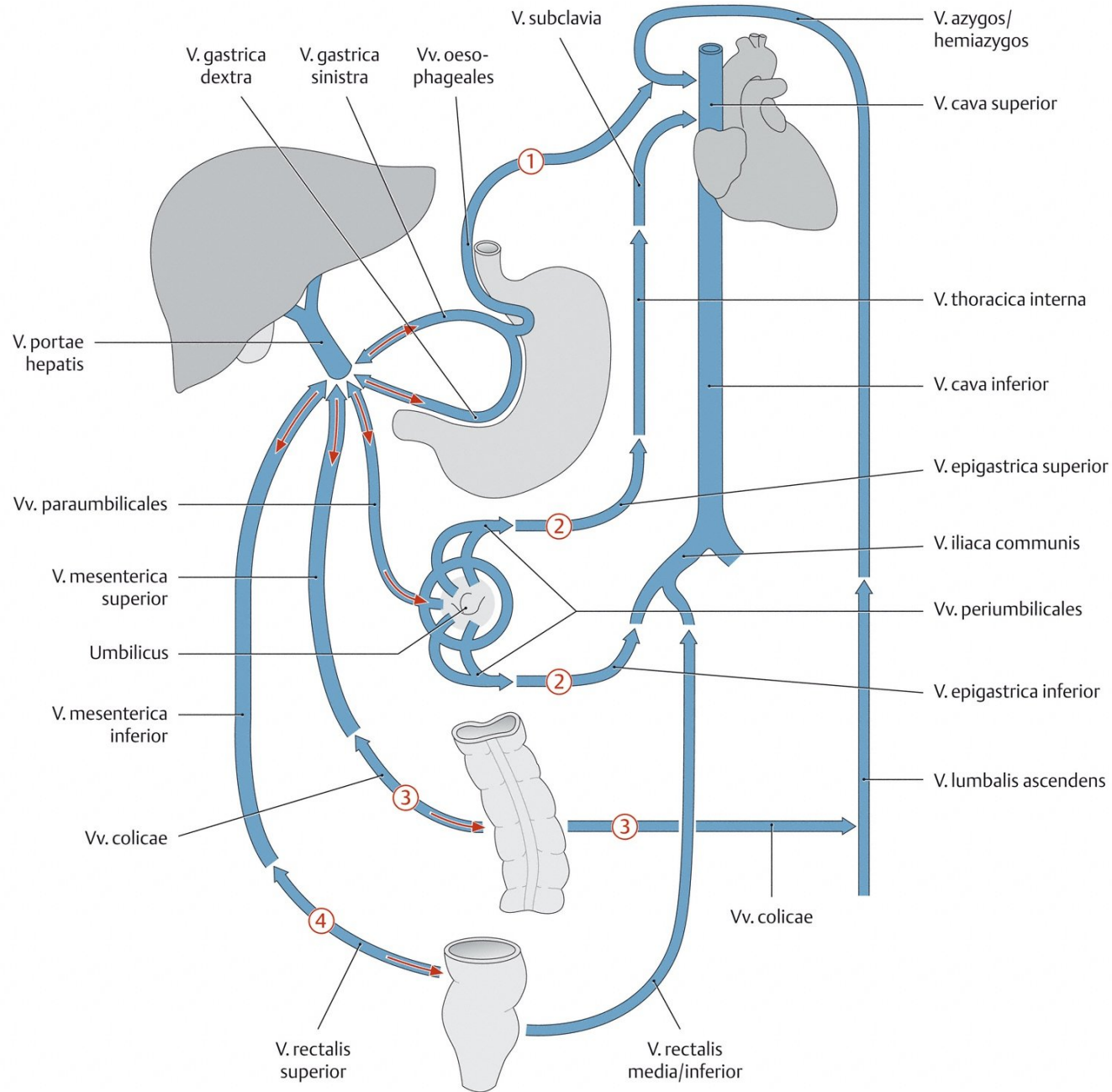
Ansicht von ventral



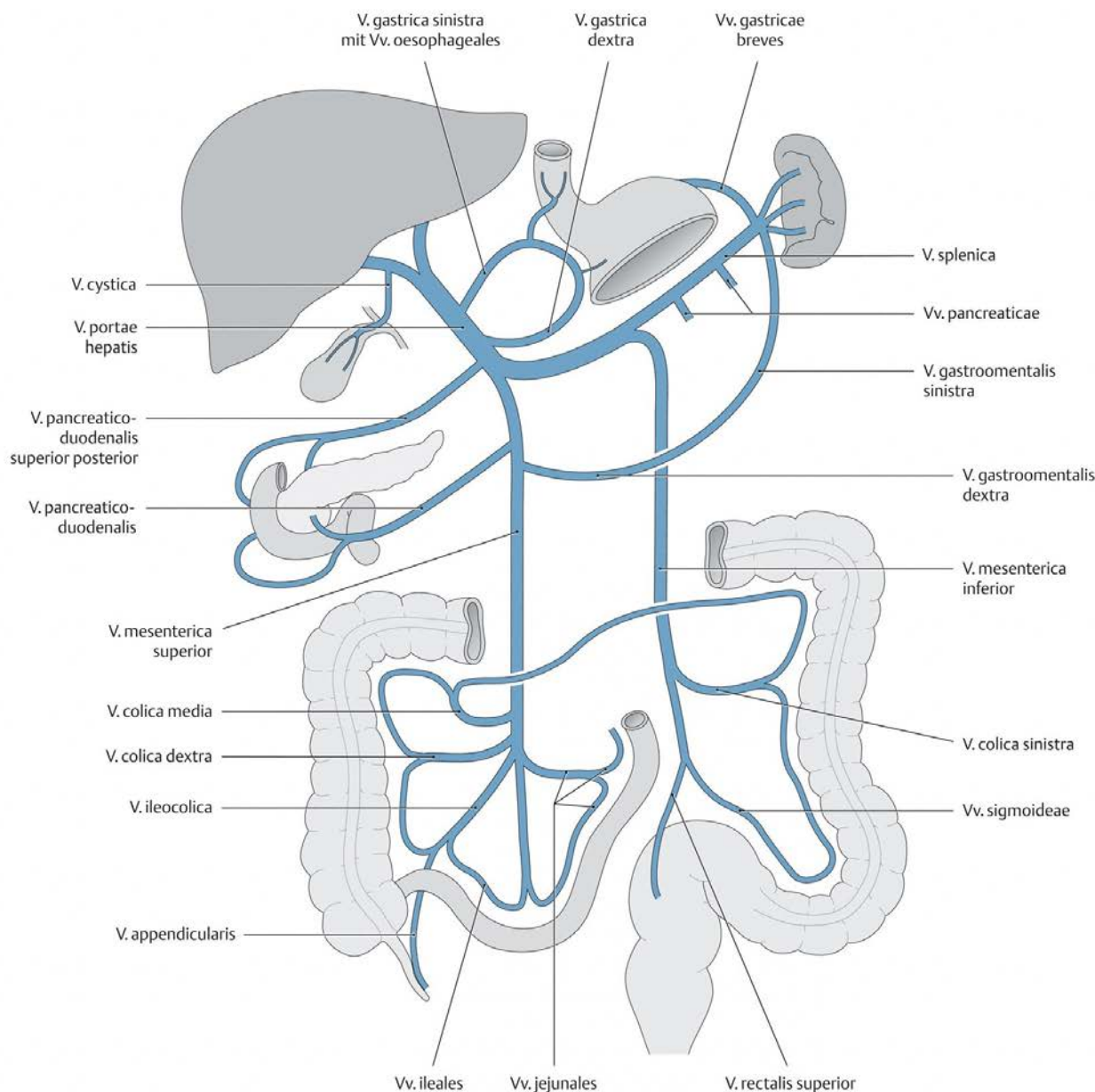


A Kavokavale (interkavale) Anastomosen



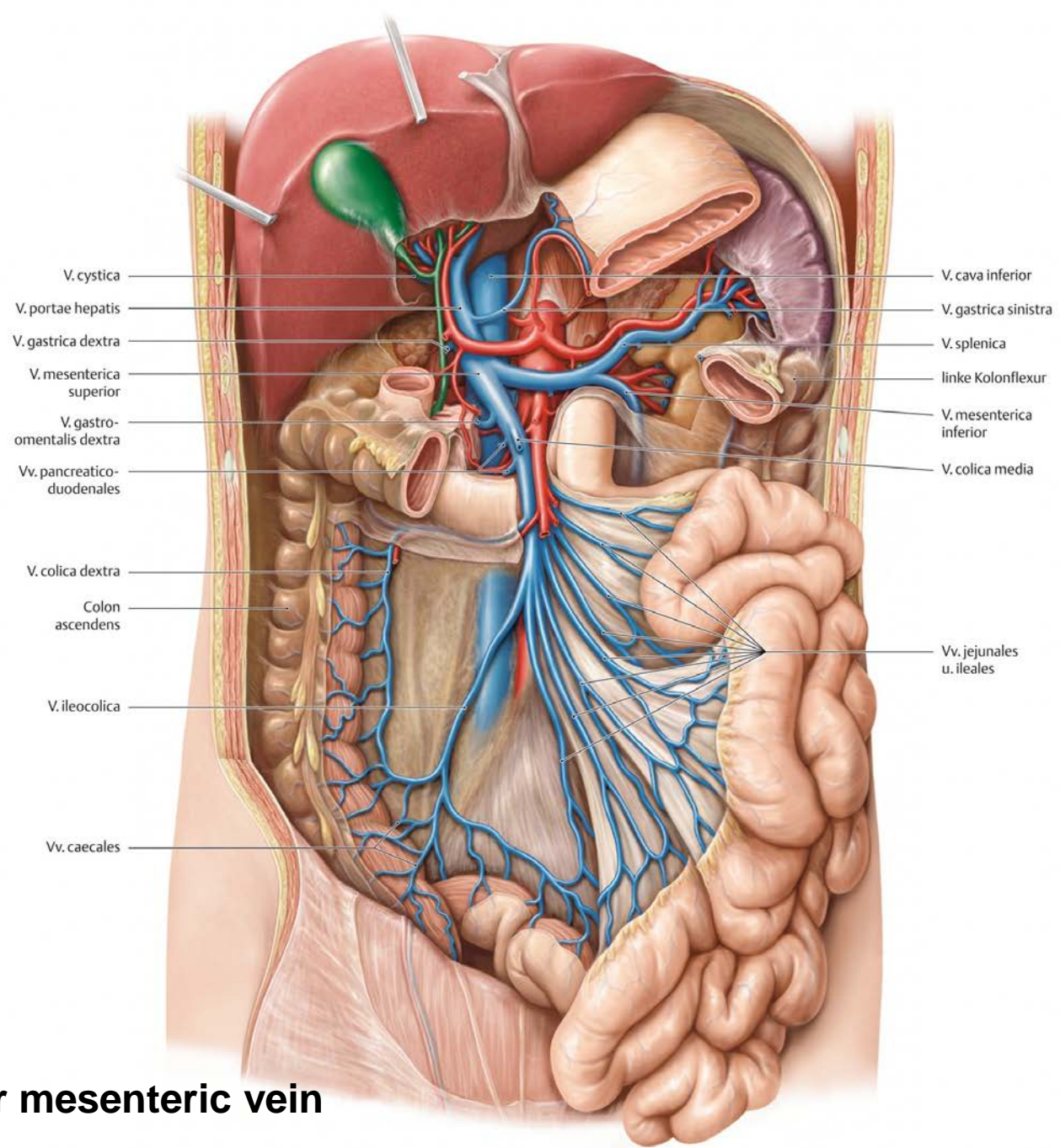


B Schema der venösen Umgehungskreisläufe der V. portae hepatitis (portokavale Anastomosen)



Branches of the portal vein

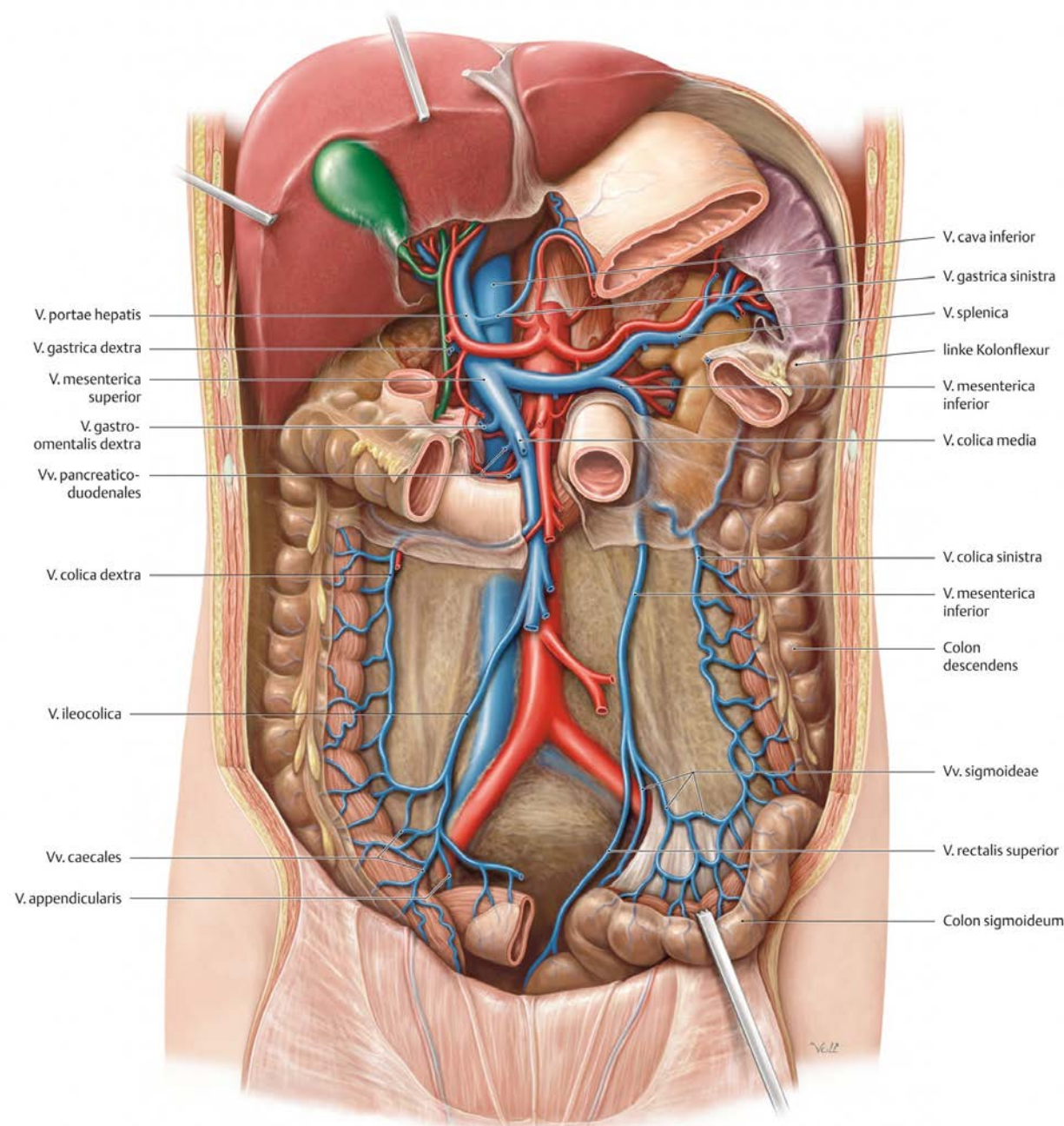
D Zuflussgebiet der V. portae hepatis (s. auch C)



Superior mesenteric vein

A Zuflüsse zur V. mesenterica superior

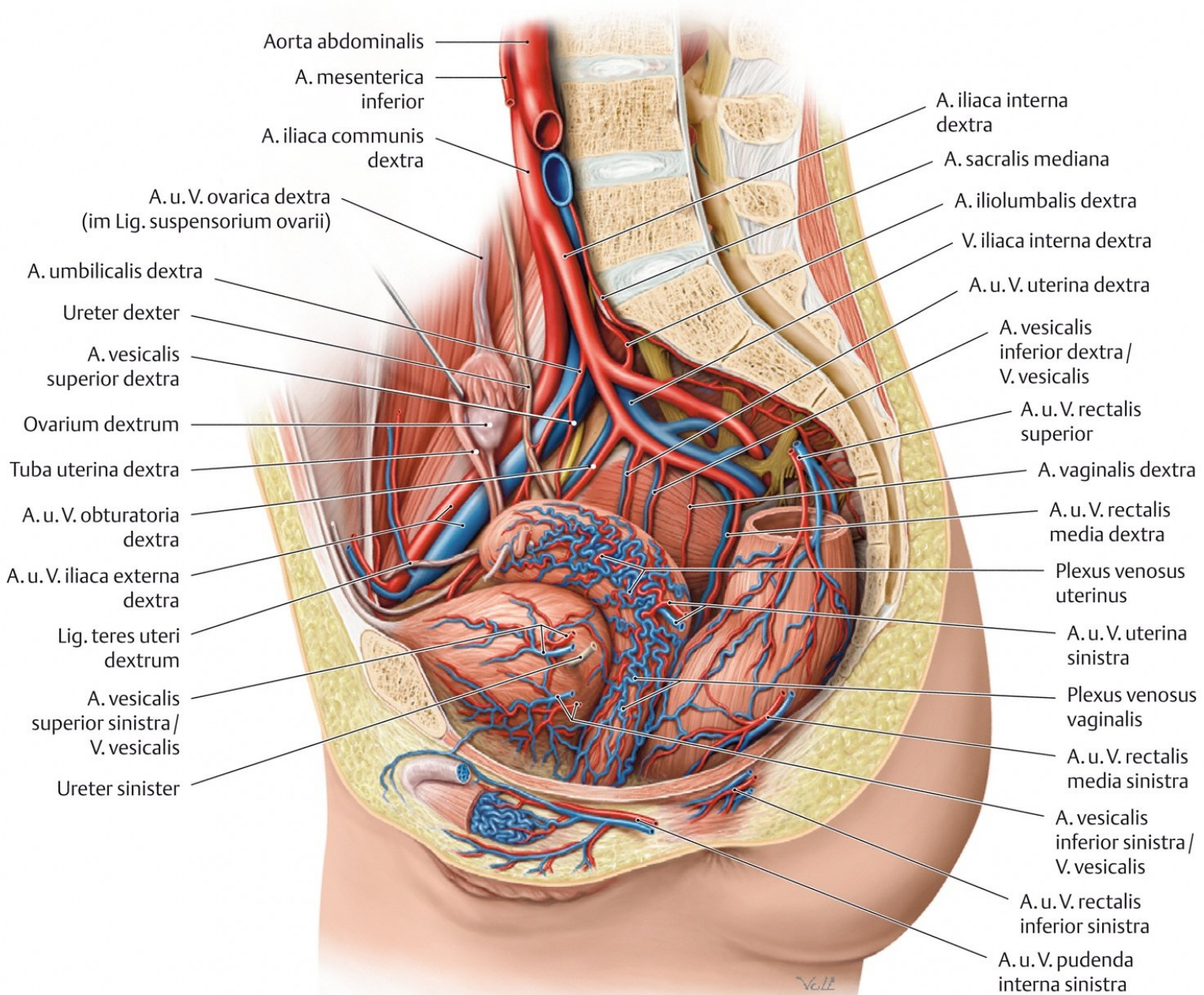
Ansicht von ventral



Inferior mesenteric vein

B Zuflüsse zur V. mesenterica inferior

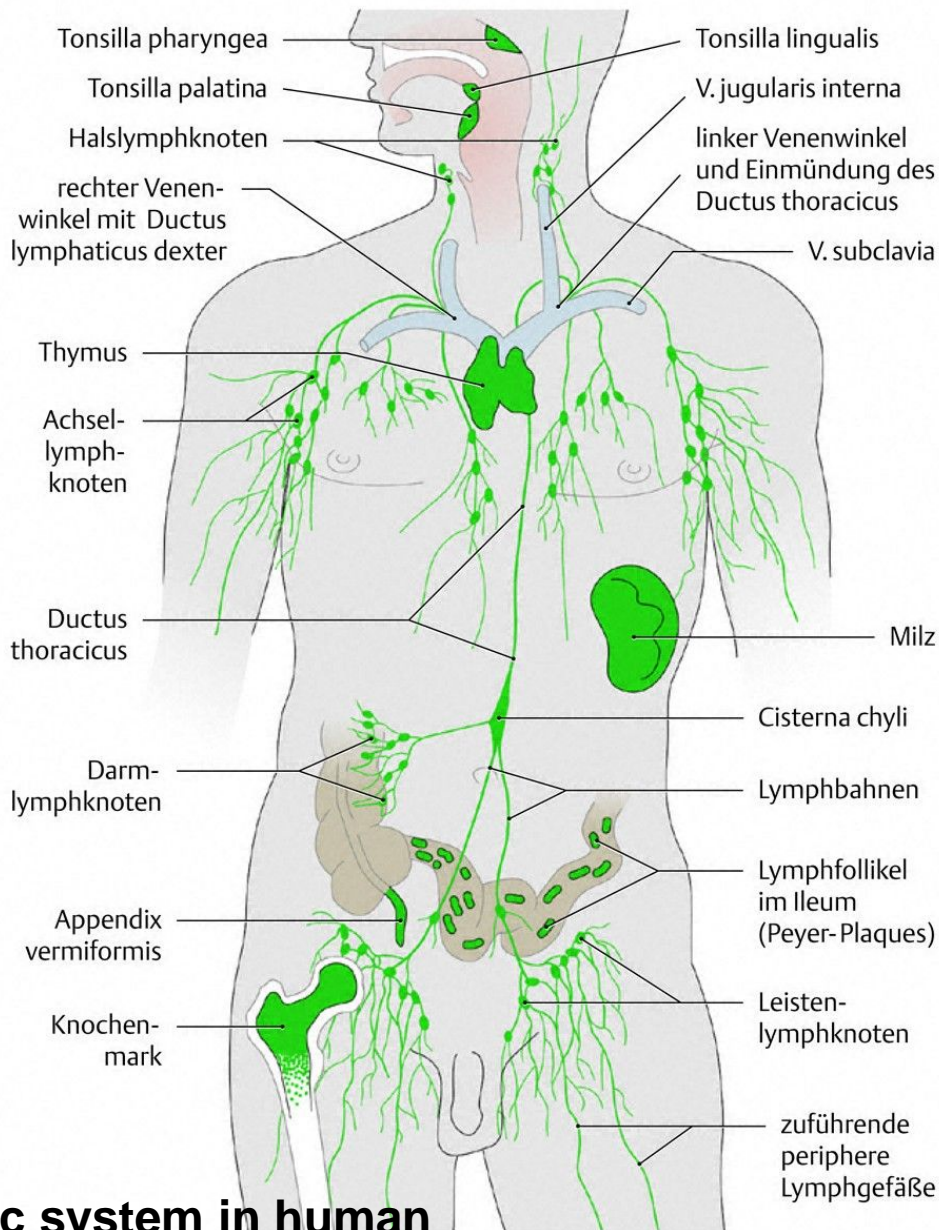
Ansicht von ventral



Pelvic arteries and veins

D Arterielle Versorgung und venöse Drainage der Beckenorgane bei der Frau (Übersicht)

Sicht von links in eine rechte Beckenhälfte (Kombination aus mehreren Sagittalschnitten, Bild stark idealisiert)



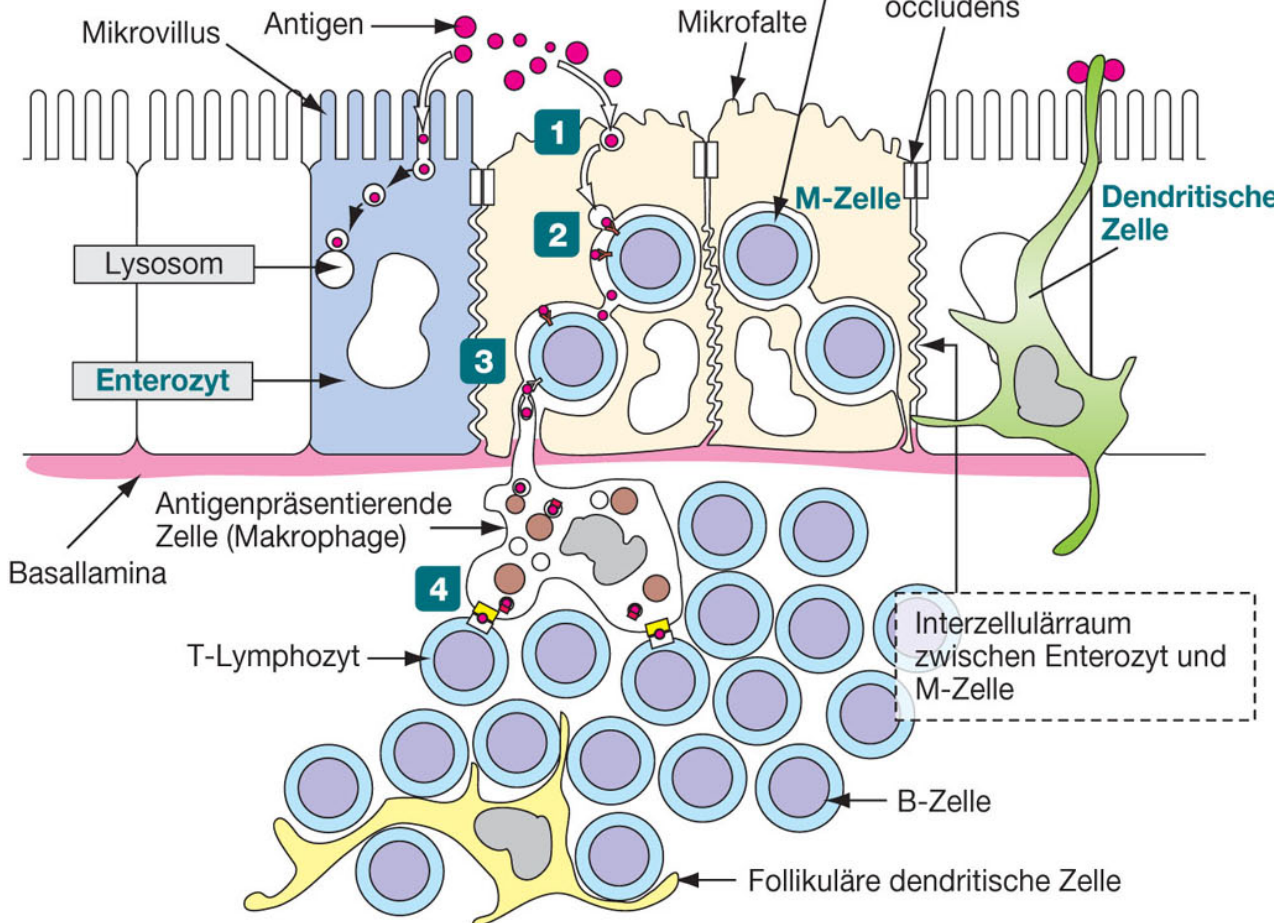
Lymphatic system in human

A Das lymphatische System des Menschen



Enterozyt

Normale Enterozyten können Antigene über Endozytose aufnehmen und bauen sie in ihren recht zahlreichen supranuklear lokalisierten Lysosomen ab. In M-Zellen sind Lysosomen vergleichsweise selten.



M-Zellen

1 M-Zellen und noch unreife dendritische Zellen nehmen Antigene aus dem Darmlumen auf. Die M-Zellen transportieren sie mit Hilfe der Transzytose durch ihr Zytoplasma und setzen sie unverändert in basolateral befindlichen Taschen und Buchten frei.

2 Antigene erreichen Lymphozyten in den Taschen der M-Zellen.

3 B-Lymphozyten transportieren die an die Ig-Moleküle ihrer Oberfläche gebundenen Antigene zu benachbarten Follikeln. Hier übertragen sie die Antigene wohl teilweise den follikulären dendritischen Zellen, die aber auch selber Antigene binden können.

4 Reife dendritische Zellen und Makrophagen interagieren in T-Regionen der Peyer-Plaques mit T-Lymphozyten. T-Lymphozyten treten mit follikulären B-Lymphozyten und wohl auch mit follikulären dendritischen Zellen in Beziehung.

M-Zellen entstehen wie die anderen Darmepithelzellen aus Stammzellen in den Darmkrypten.

Processus vermiformis – Appendix

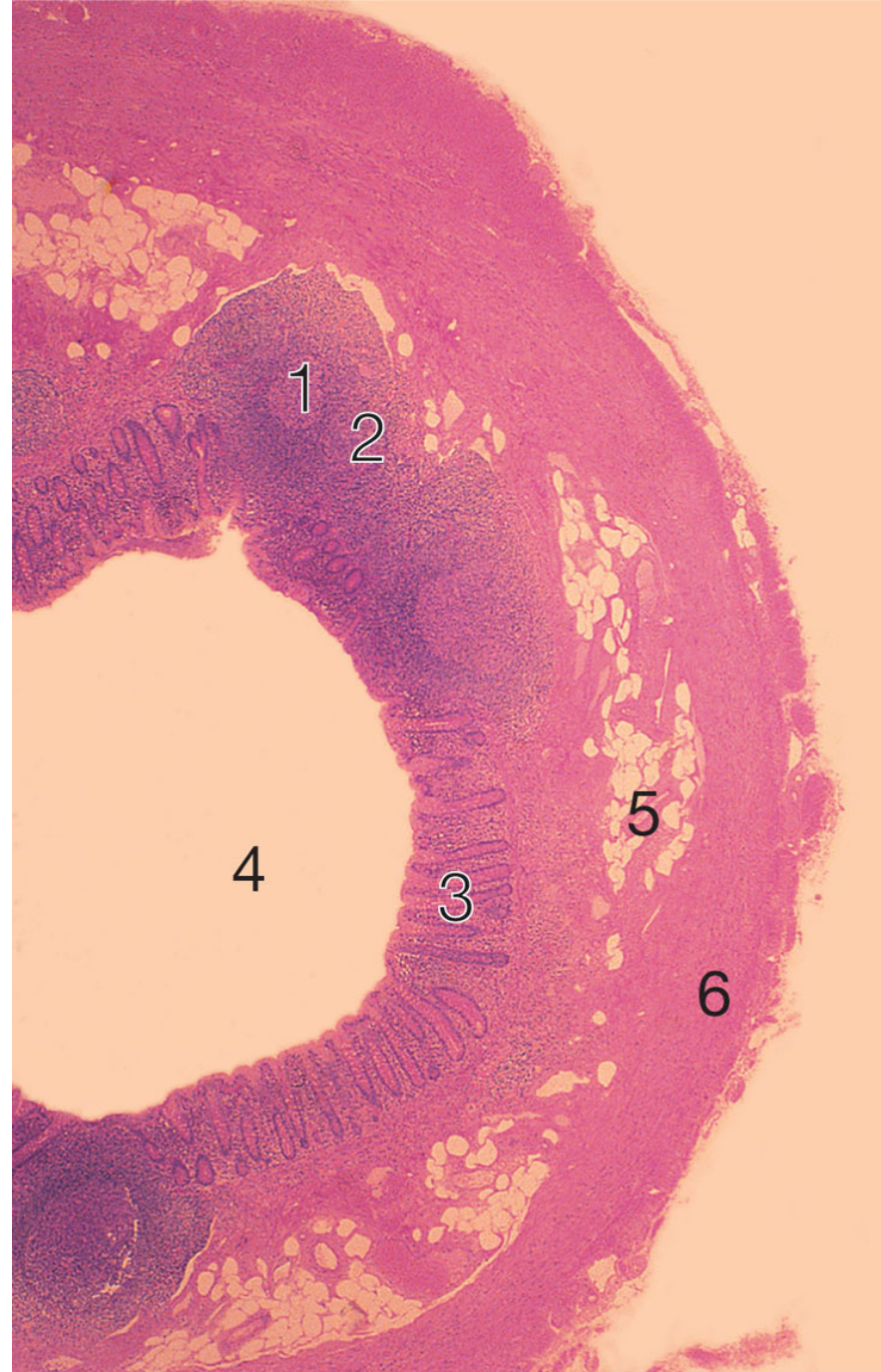
1 and 2 – lymphatic
follicle

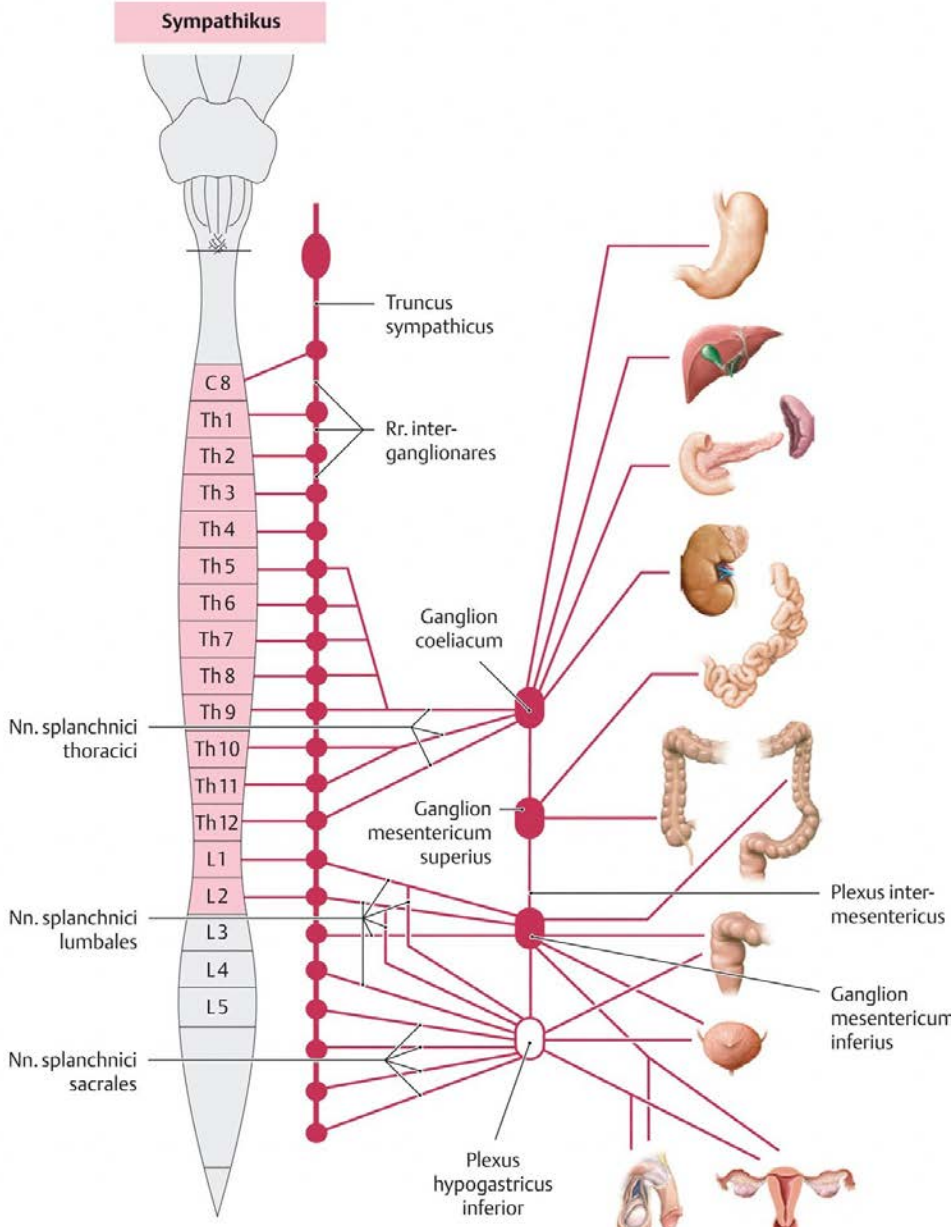
3 – mucosa

4 – lumen

5 – tela submucosa

6 – tunica muscularis





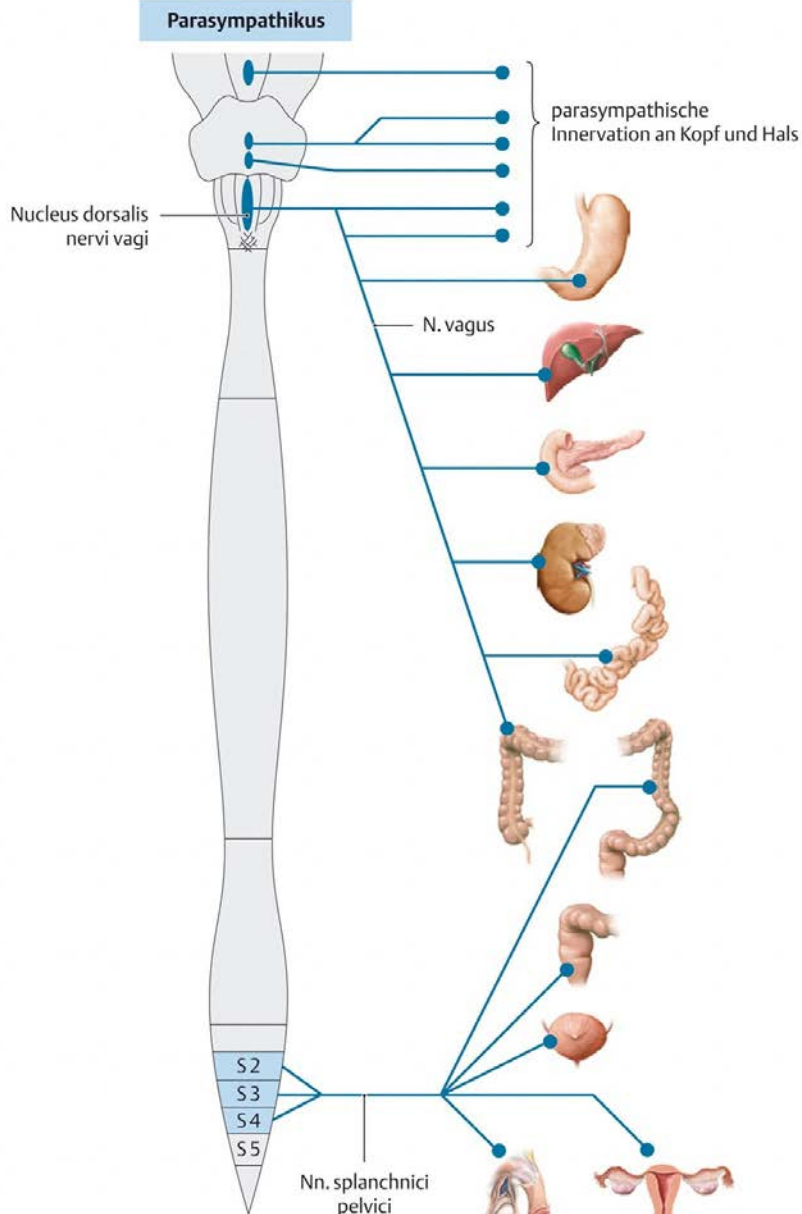
Sympathetic innervation of the abdominal and pelvic organs

A Organisation des Sympathikus in Abdomen und Becken

Organ/ Organsystem	Sympathikus- wirkung
• Gastro-intestinaltrakt – longitudinale und zirkuläre Muskulatur – Sphinktermuskeln – Drüsen	Abnahme der Motilität Kontraktion Verminderung der Sekretion
• Milzkapsel	Kontraktion
• Leber	Glykogenolyse/ Glukoneogenese verstärkt
• Pankreas – endokrines Pankreas – exokrines Pankreas	Verminderung der Insulinsekretion Verminderung der Sekretion
• Harnblase – M. detrusor vesicae – funktioneller Blasenspincter	Erschlaffung Kontraktion
• Glandula vesiculosa	Kontraktion (Ejakulation)
• Ductus deferens	Kontraktion (Ejakulation)
• Uterus	Kontraktion oder Erschlaffung je nach hormoneller Situation
• Arterien	Vasokonstriktion

B Wirkung des Sympathikus auf Organe in Abdomen und Becken





Parasympathetic innervation of the abdominal and pelvic organs

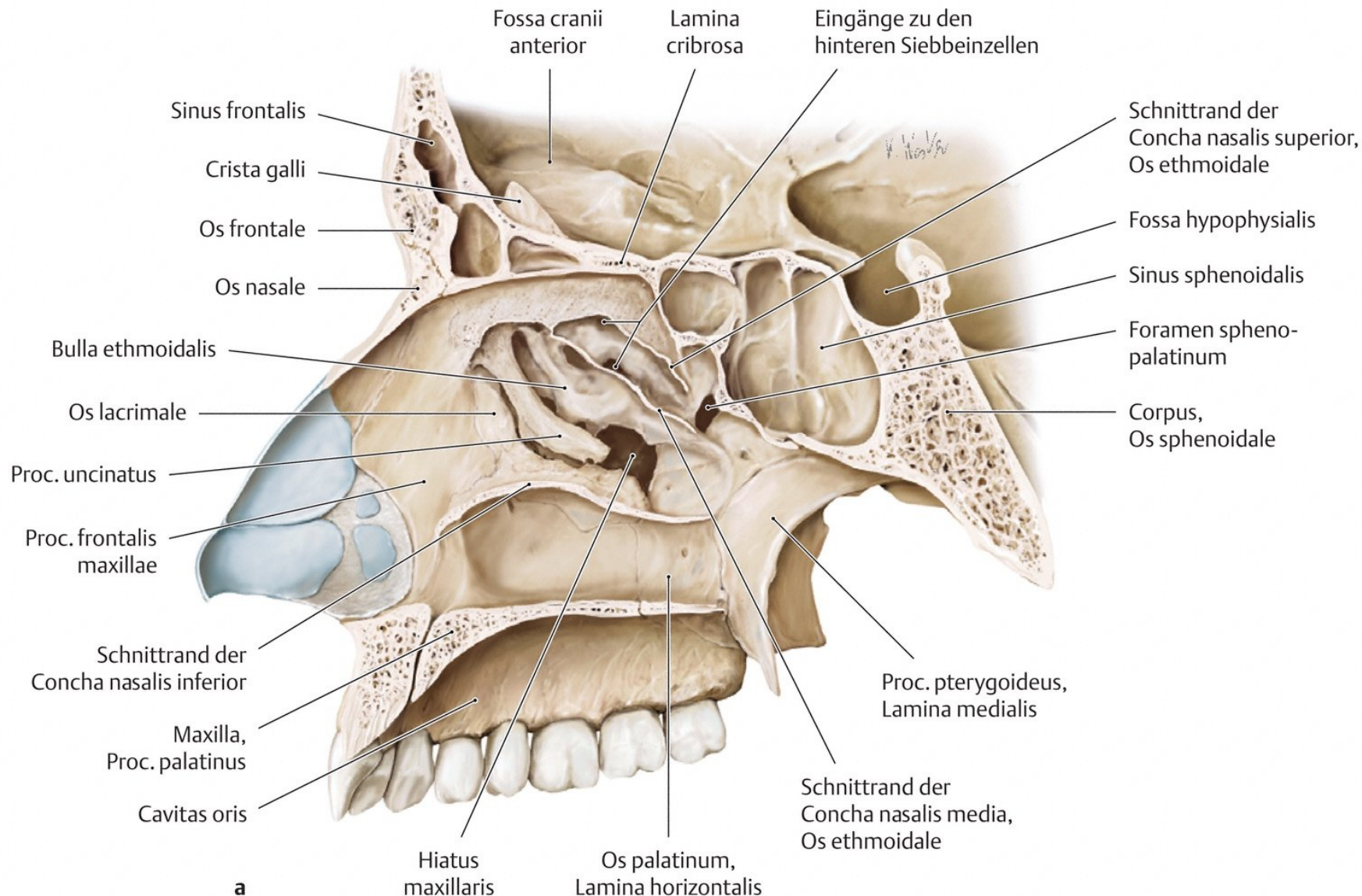
C Organisation des Parasympathikus in Abdomen und Becken

Organ/ Organsystem	Parasympathikus- wirkung
• Gastro-intestinaltrakt – <i>longitudinale und zirkuläre Muskulatur</i> – <i>Sphinktermuskeln</i> – <i>Drüsen</i>	Zunahme der Motilität Erschlaffung Anregung der Sekretion
• Milzkapsel	–
• Leber	–
• Páncreas – <i>endokrines Páncreas</i> – <i>exokrines Páncreas</i>	–
• Harnblase – <i>M. detrusor vesicae</i> – <i>funktioneller Blasenspincter</i>	Anregung der Sekretion Kontraktion
• Glandula vesiculosa	–
• Ductus deferens	–
• Uterus	–
• Arterien	Vasodilatation der Arterien im Penis/Clitoris (Erektion)

D Wirkung des Parasympathikus auf Organe in Abdomen und Becken

Nasal cavity:

Entrance:	apertura piriformis
Roof:	ossa nasalia, pars nasalis ossis frontalis, lamina cribrosa ossis ethmoidalis, corpus ossis sphenoidalis
Ground:	processus palatini maxilae lamina horizontalis ossis palatini
Lateral wall:	processus frontalis maxillae corpus maxillae, os lacrimale, labyrinthi ethmoidales, lamina perpendicularis ossis palatini, lamina medialis processus pterygoidei
Exitus:	choanae
Meatus nasi:	
Meatus nasi superior:	above concha nasalis superior
Meatus nasi mediusr:	betweeni concha nasalis superior and concha nasalis media
Meatus nasi inferior:	below concha nasalis inferior
Connexions:	
Meatus nasi superior:	celullae ethmoidales posteriores and sinus sphenoidalis
Meatus nasi mediusr:	sinus frontalis, sinus maxillaris and celullae ethmoid.ant.
Meatus nasi inferior:	ductus nasolacralis

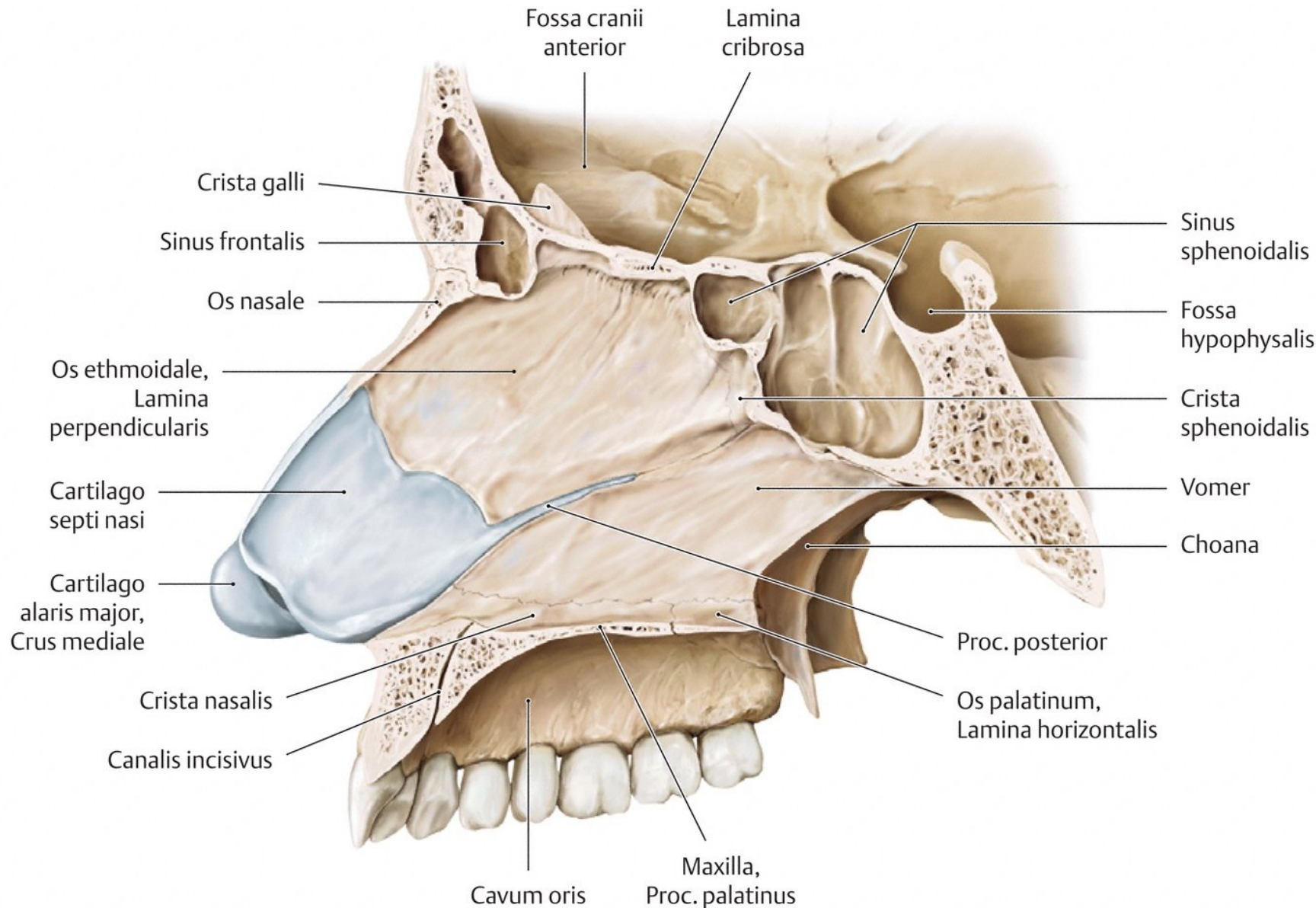


Lateral wall

C Laterale Wand der rechten Nasenhöhle. a Ansicht von links

a Ansicht von links;

Nasenmuscheln entfernt, um die Mündungen von Tränen-Nasen-Gang und Nasennebenhöhlen in die Nasenhaupthöhle sichtbar zu machen.



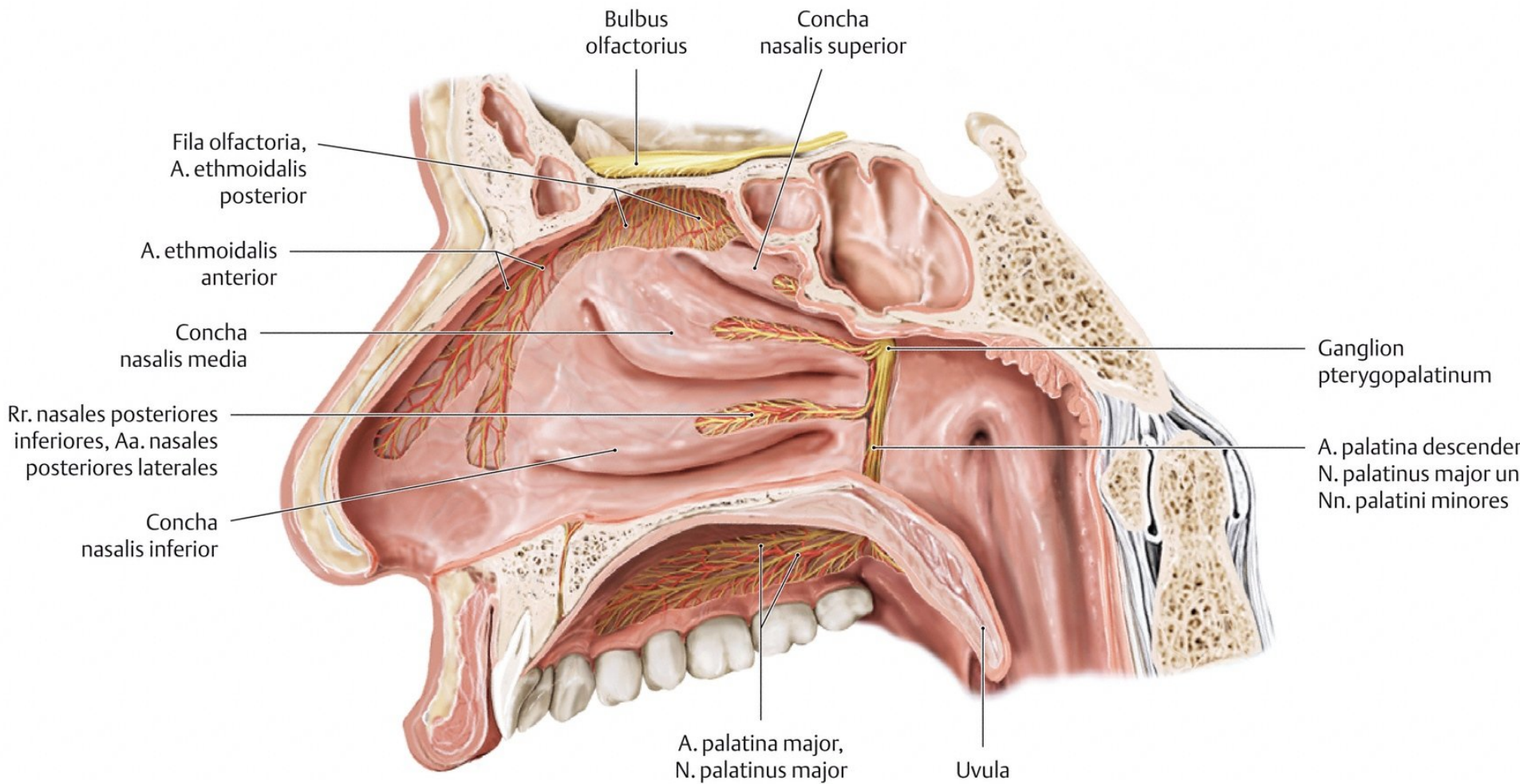
Septum

F Nasenseptum

Paramedianschnitt, Ansicht von links



CC BY-NC-SA · © Prometheus · <http://creativecommons.org/licenses/by-nc-sa/3.0/>



B Gefäße und Nerven der rechten lateralen Nasenwand

Ansicht von links

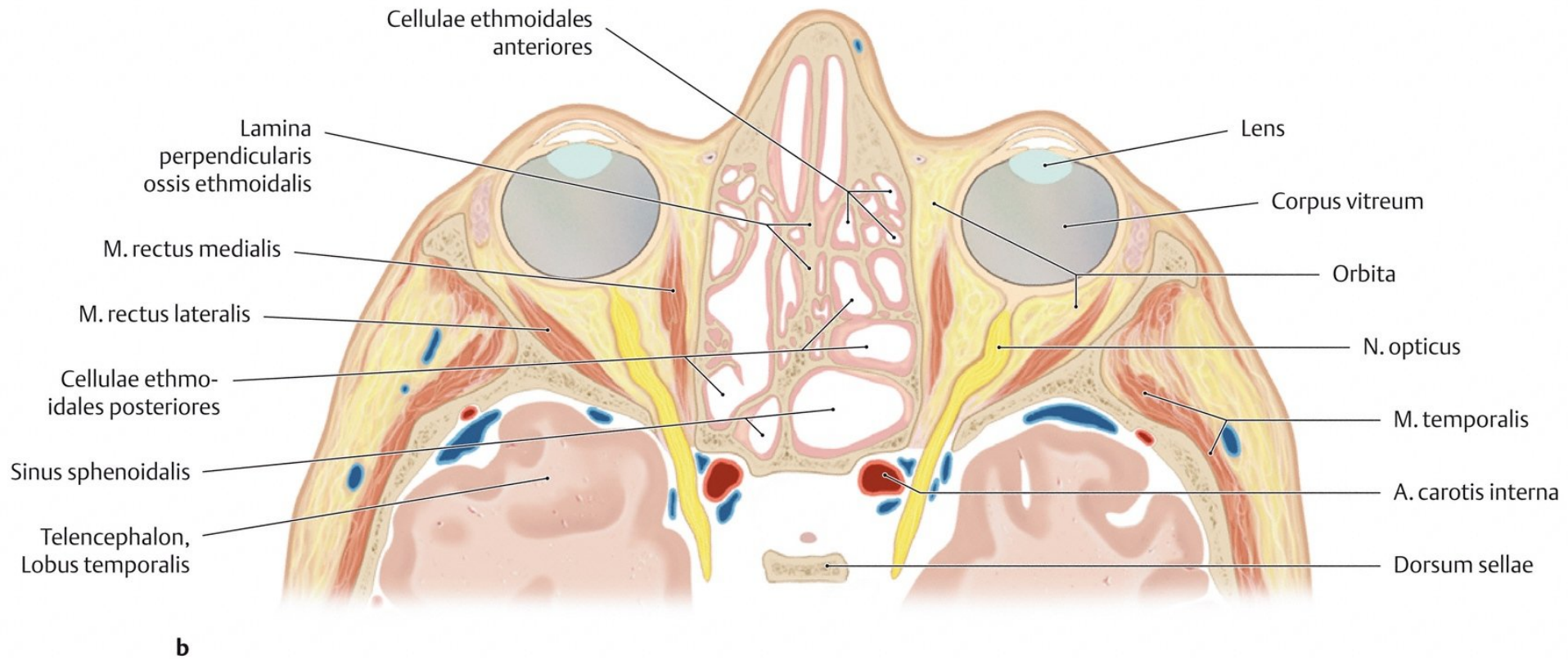
Arteries and nerves of the lateral wall



PROMETHEUS Lernatlas der Anatomie · Kopf und Neuroanatomie

M. Schünke, E. Schulte, U. Schumacher. Illustrator: K. Wesker

© Georg Thieme Verlag 2006 · Alle Rechte vorbehalten · www.thieme.de/prometheus



A Übersicht über die Nasenhöhlen

b Horizontalschnitt, Ansicht von kranial.

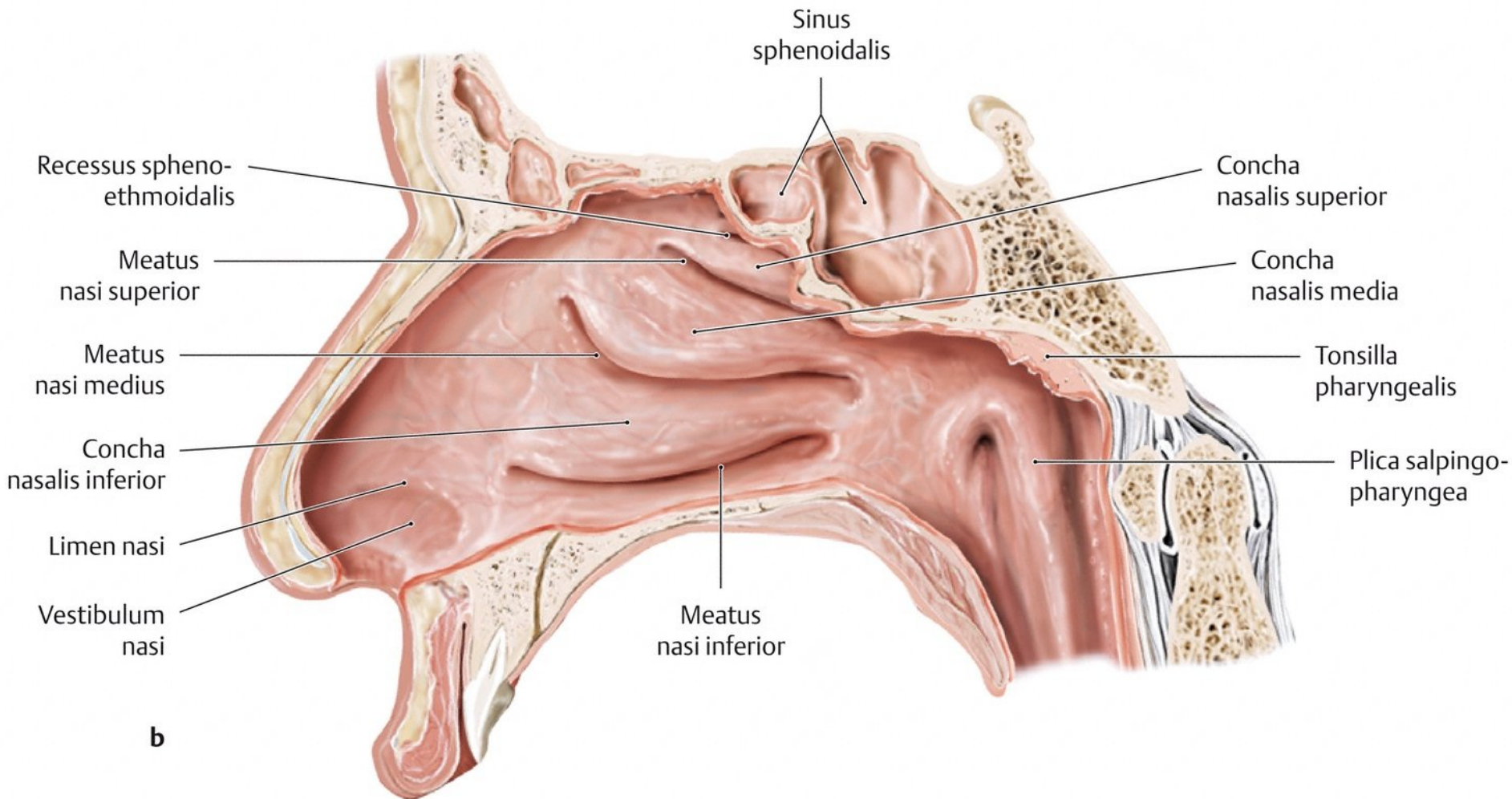
Nasal cavity and nasal sinuses



PROMETHEUS Lernatlas der Anatomie · Kopf und Neuroanatomie

M. Schünke, E. Schulte, U. Schumacher. Illustrator: M. Voll

© Georg Thieme Verlag 2006 · Alle Rechte vorbehalten · www.thieme.de/prometheus

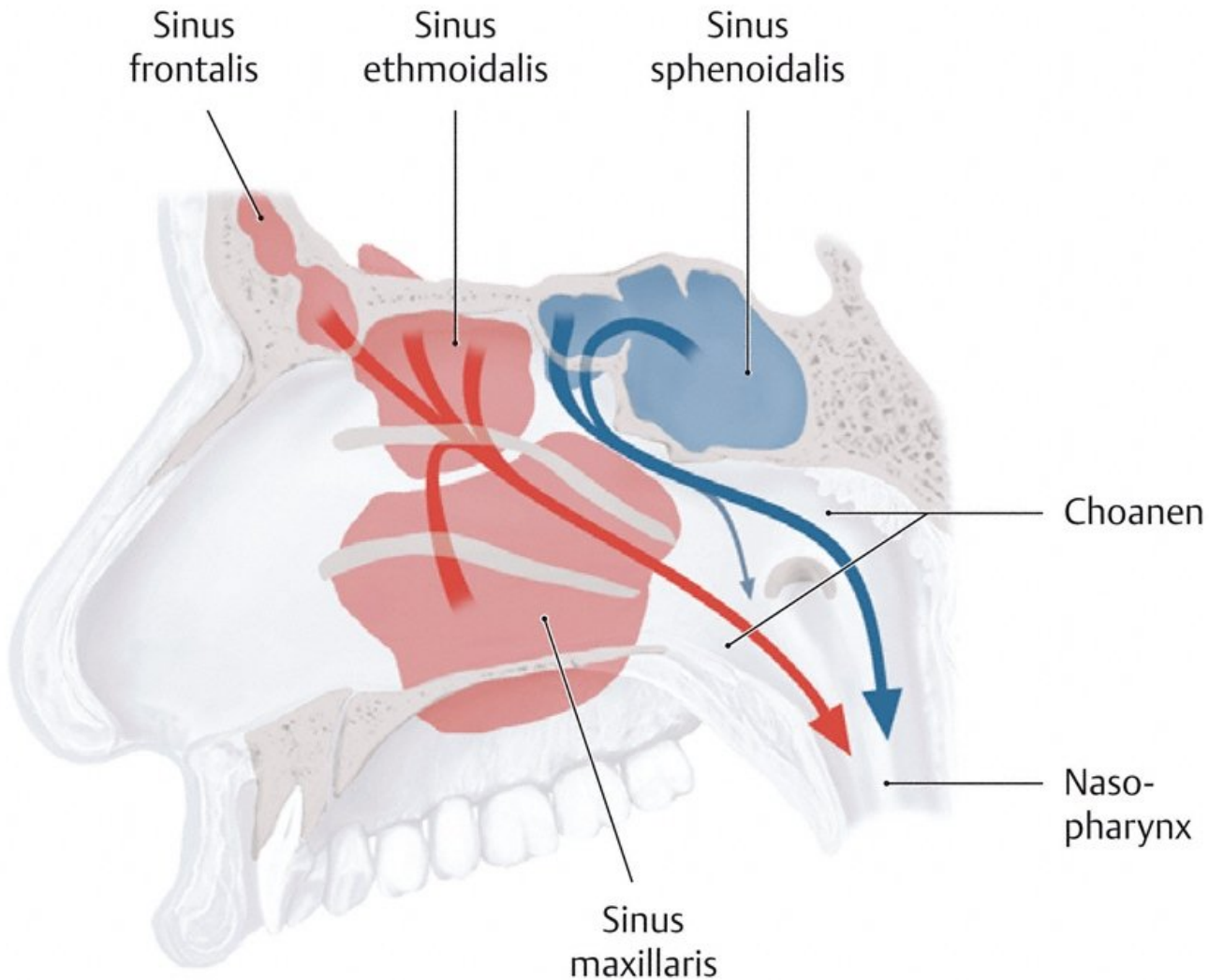


Mucosa of the nasal cavity

B Schleimhaut der Nasenhaupthöhle

b Schleimhaut der rechten lateralen Nasenwand, Ansicht von links





Secret flow from the nasal sinuses

C Normaler Sekretfluss aus den Nasennebenhöhlen

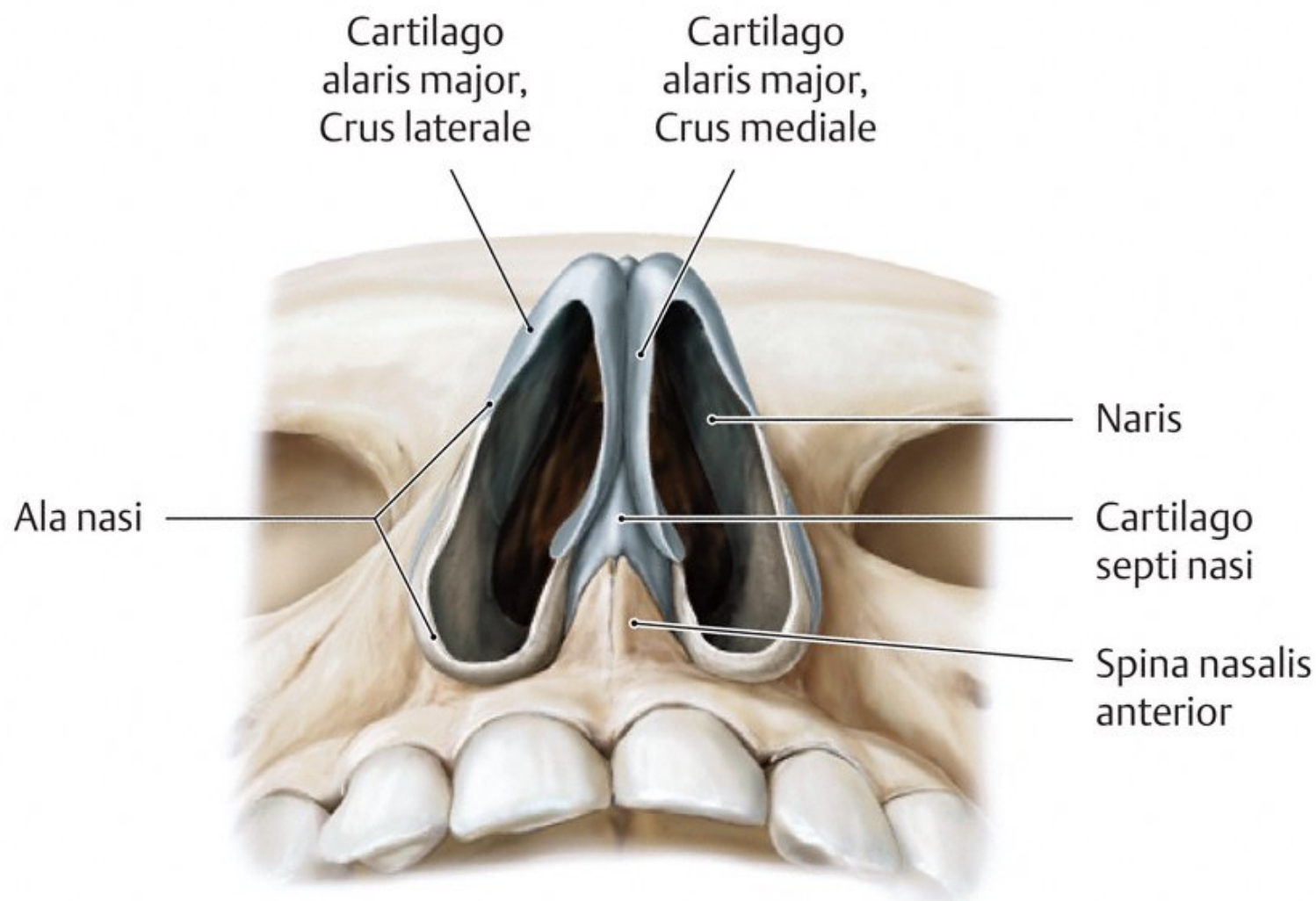
Ansicht von links



PROMETHEUS Lernatlas der Anatomie · Kopf und Neuroanatomie

M. Schünke, E. Schulte, U. Schumacher. Illustrator: K. Wesker

© Georg Thieme Verlag 2006 · Alle Rechte vorbehalten · www.thieme.de/prometheus

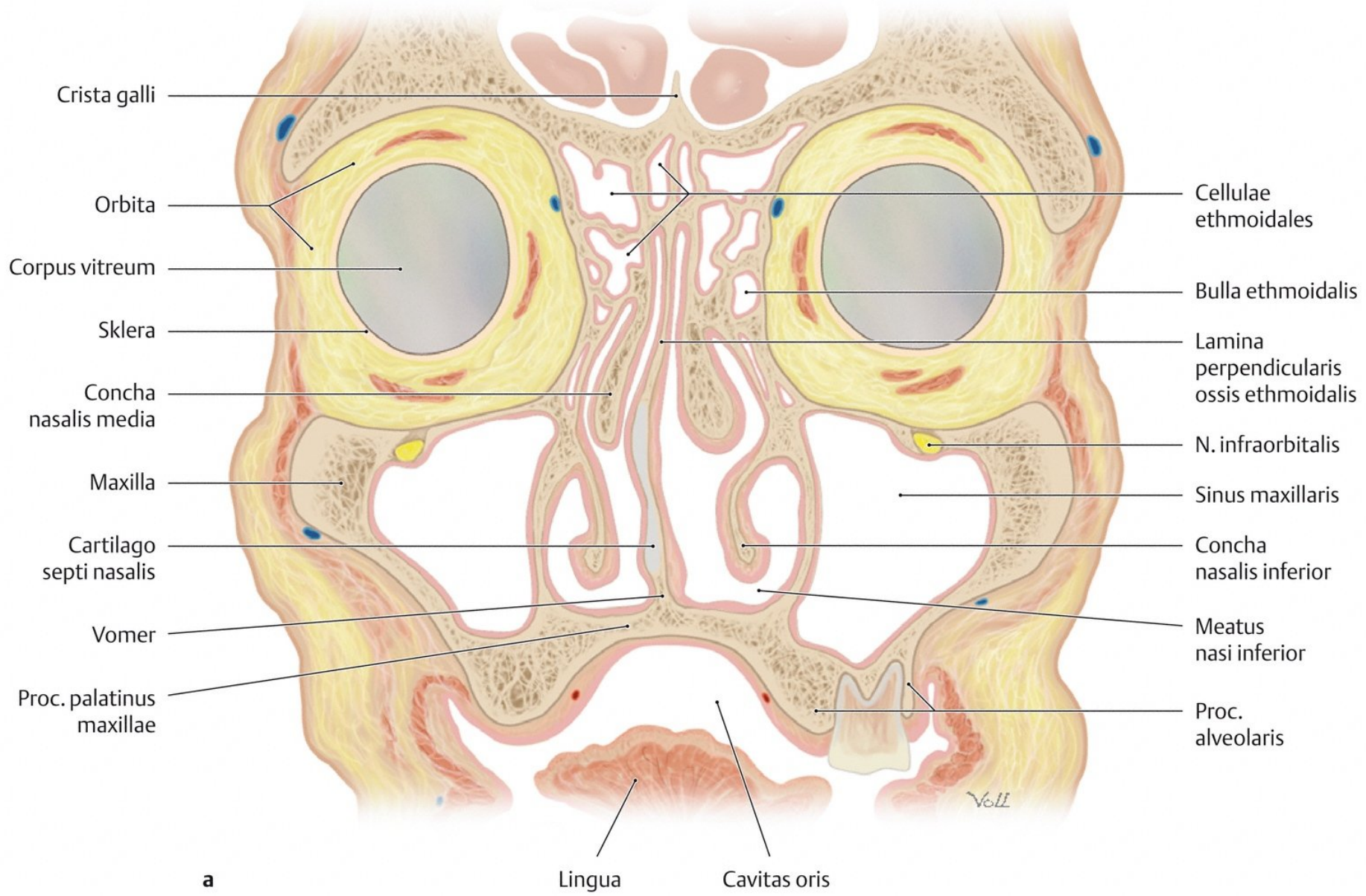


B Nasenknorpel

Ansicht von unten

Nasal cartilages



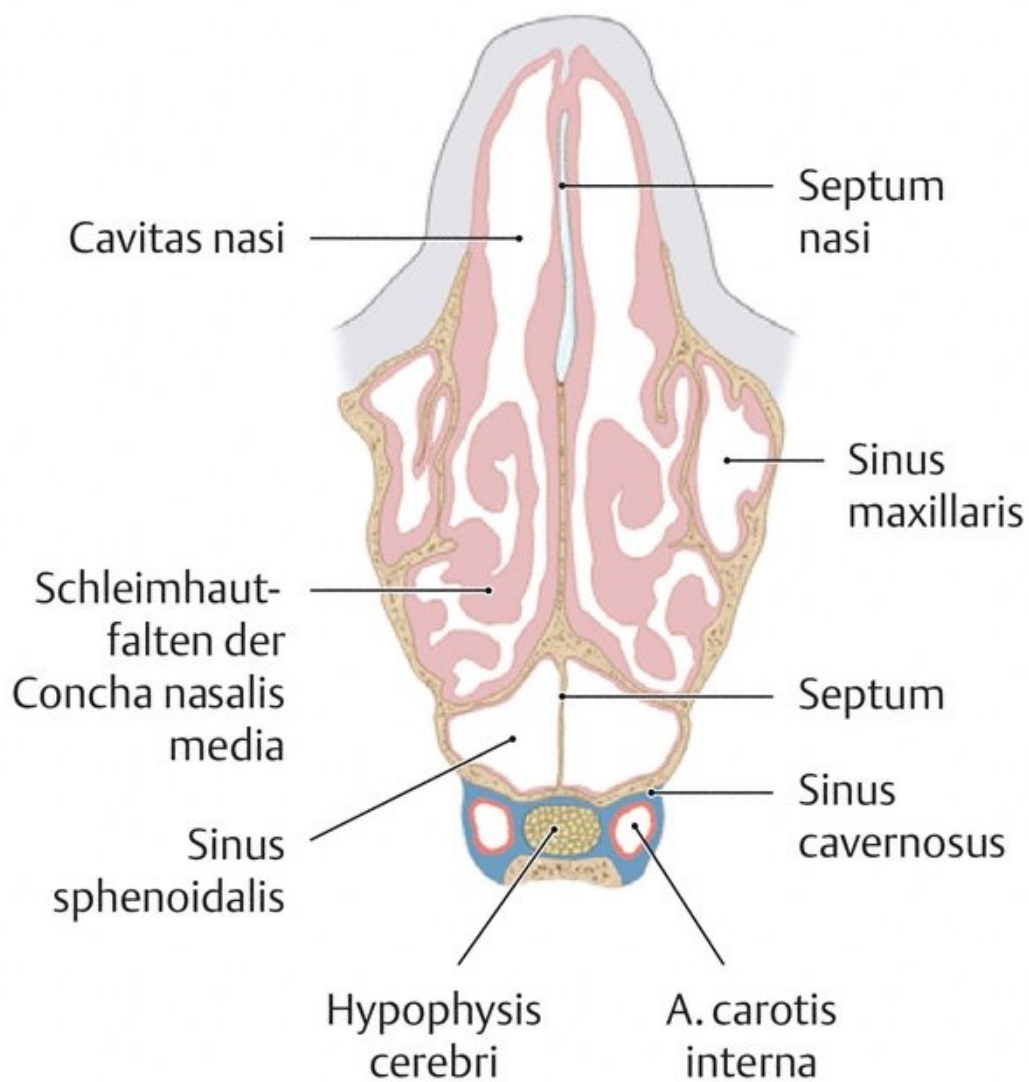


A Übersicht über die Nasenhöhlen

a Frontalschnitt, Ansicht von frontal

Nasal sinuses



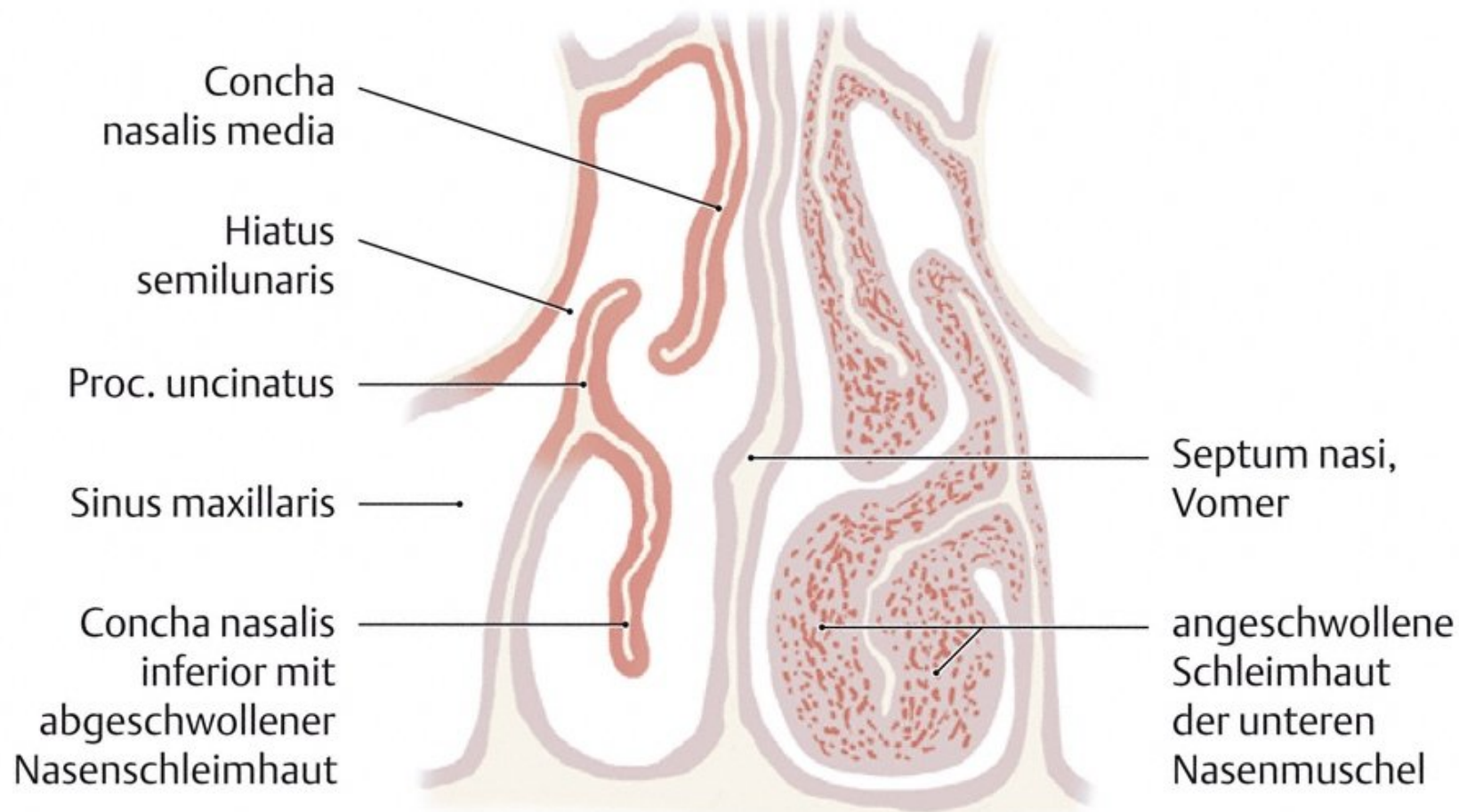


Nasal cavity and nasal sinuses

E Nasen- und -nebenhöhlen

Transversalschnitt, Ansicht von kranial





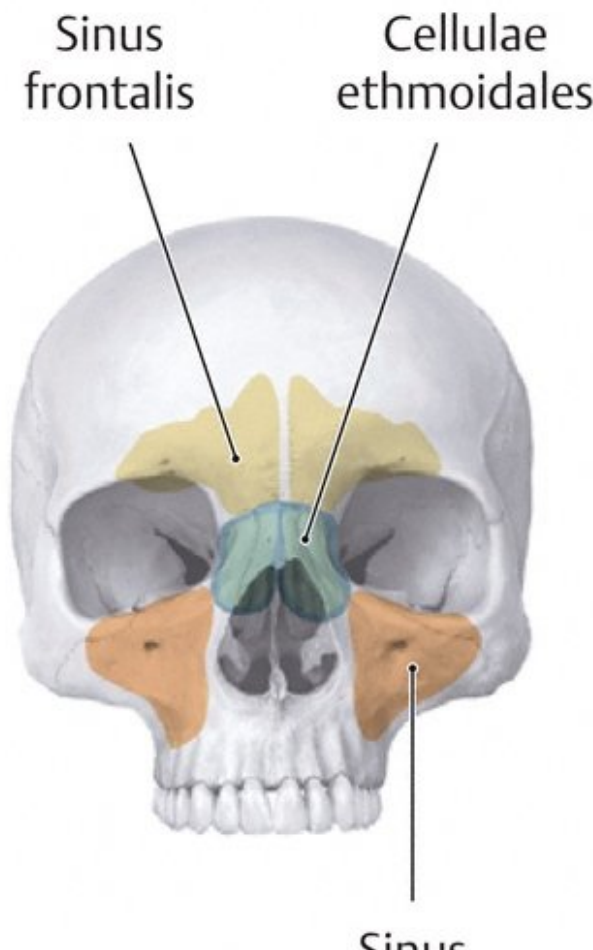
A Funktionszustände der Schleimhaut der Nasenhaupthöhle

Frontalschnitt, Ansicht von vorne



PROMETHEUS Lernatlas der Anatomie · Kopf und Neuroanatomie

M. Schünke, E. Schulte, U. Schumacher. Illustrator: K. Wesker



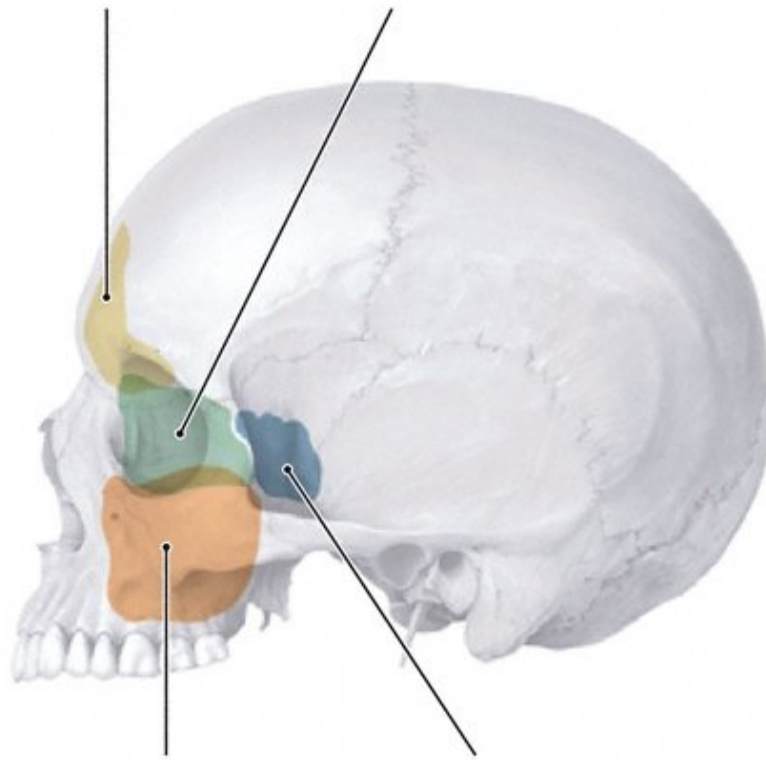
Projection of the nasal sinuses

A Projektion der Nasennebenhöhlen auf den Schädel

a Ansicht von frontal



Sinus
frontalis Cellulae
ethmoidales



b Sinus
maxillaris

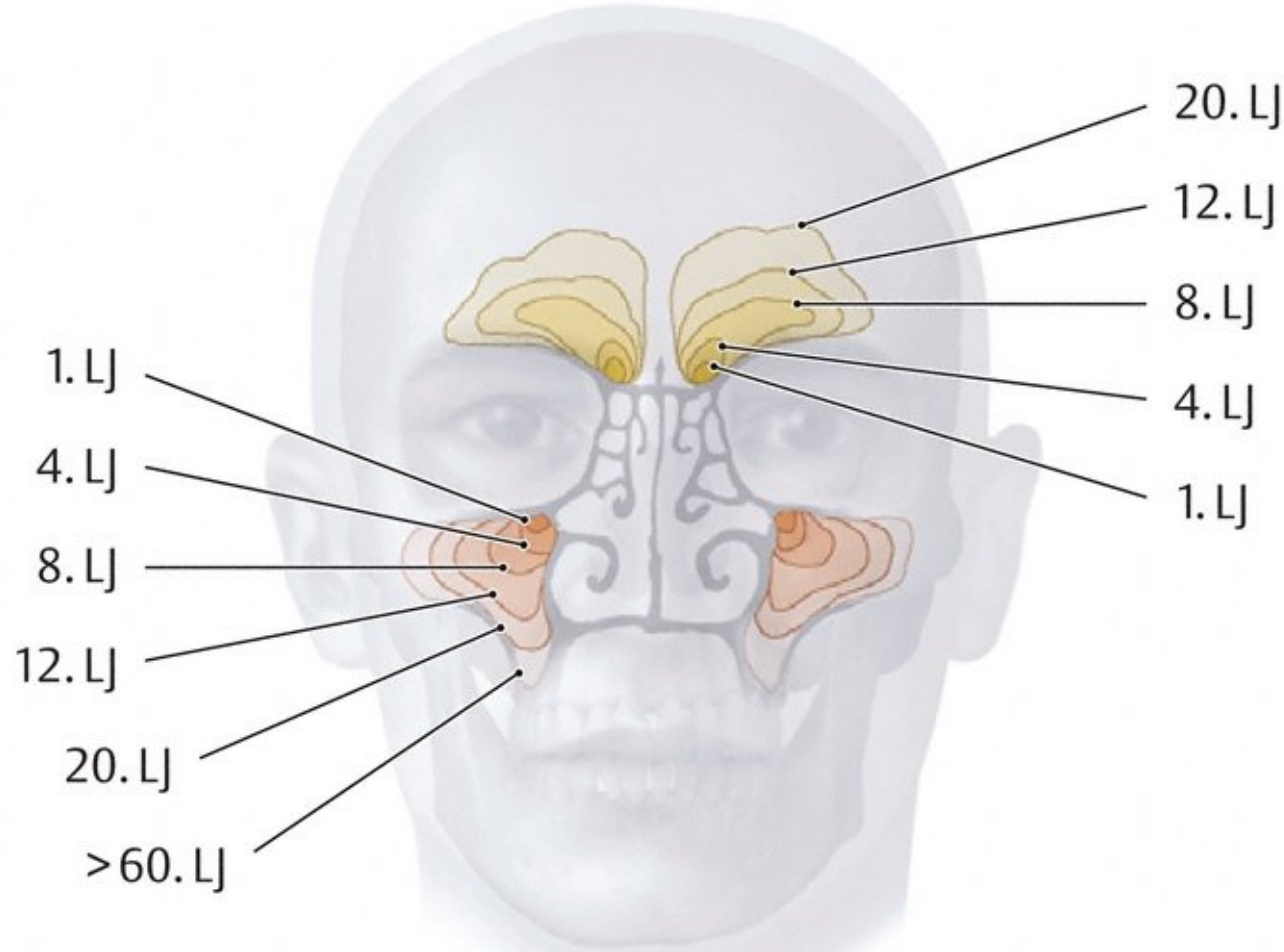
Sinus
sphenoidalis

Projection of the nasal sinuses

A Projektion der Nasennebenhöhlen auf den Schädel

b Ansicht von links

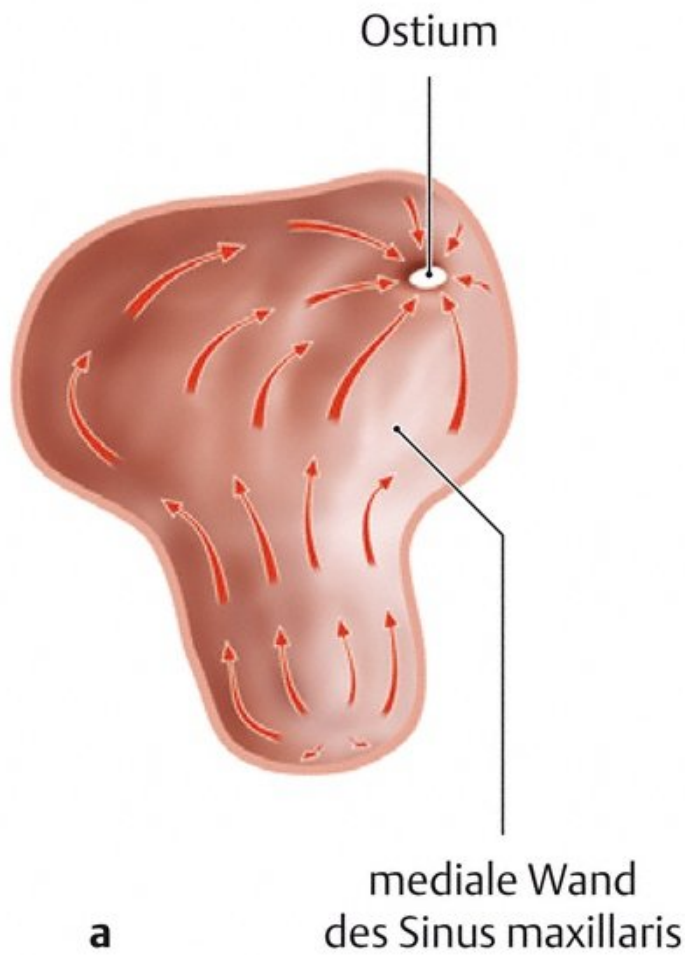




Development of the nasal sinuses B Pneumatisation der Kiefer- und Stirnhöhle

Ansicht von frontal



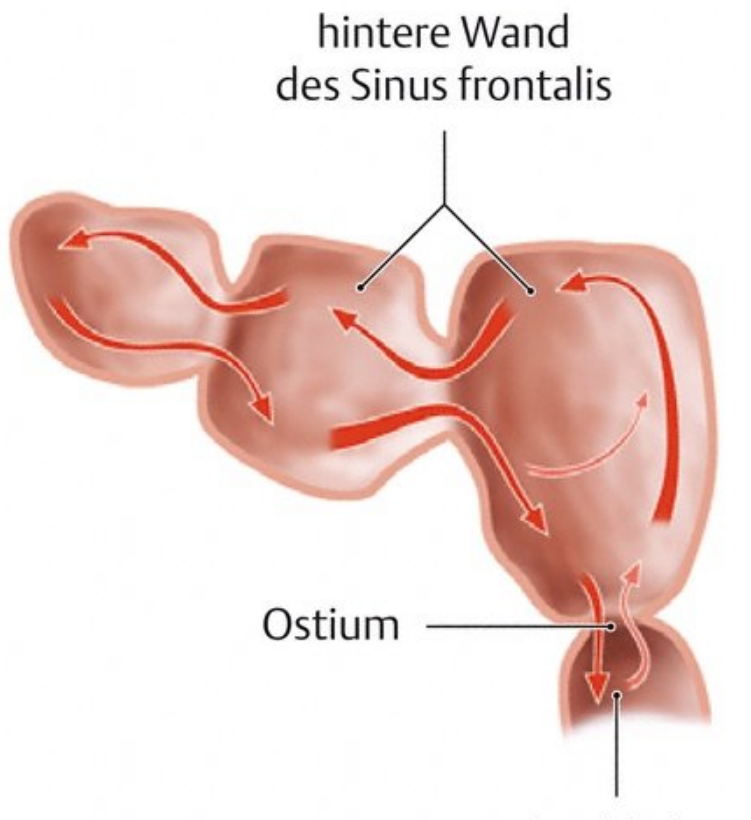


Flow of the mucus in the maxillary sinus

**D Richtung von Zilienschlag und Flüssigkeitsstrom in der
rechten Kiefer- bzw. Stirnhöhle
(Sinus maxillaris und Sinus frontalis)**

a Schematisierter Frontalschnitt des rechten Sinus maxillaris, Ansicht von frontal



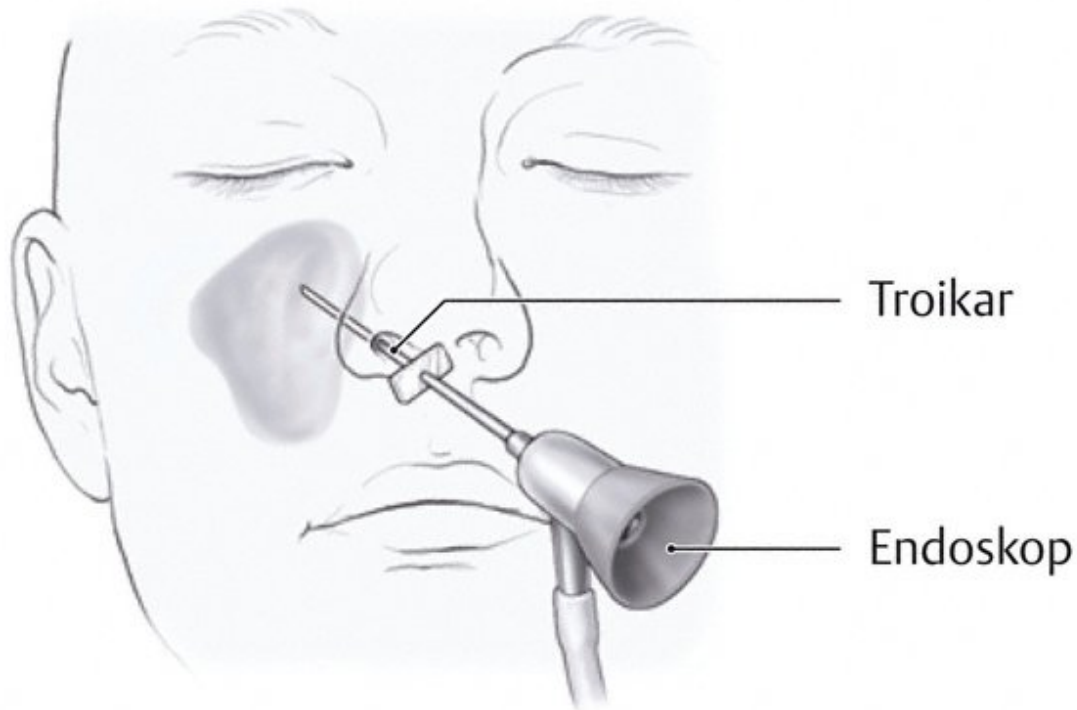


Flow of the mucus in the frontal sinus

**D Richtung von Zilienschlag und Flüssigkeitsstrom in der rechten Kiefer- bzw. Stirnhöhle
(Sinus maxillaris und Sinus frontalis)**

b Schematisierter Frontalschnitt des rechten Sinus frontalis, Ansicht von frontal





F Endoskopie der Kieferhöhle

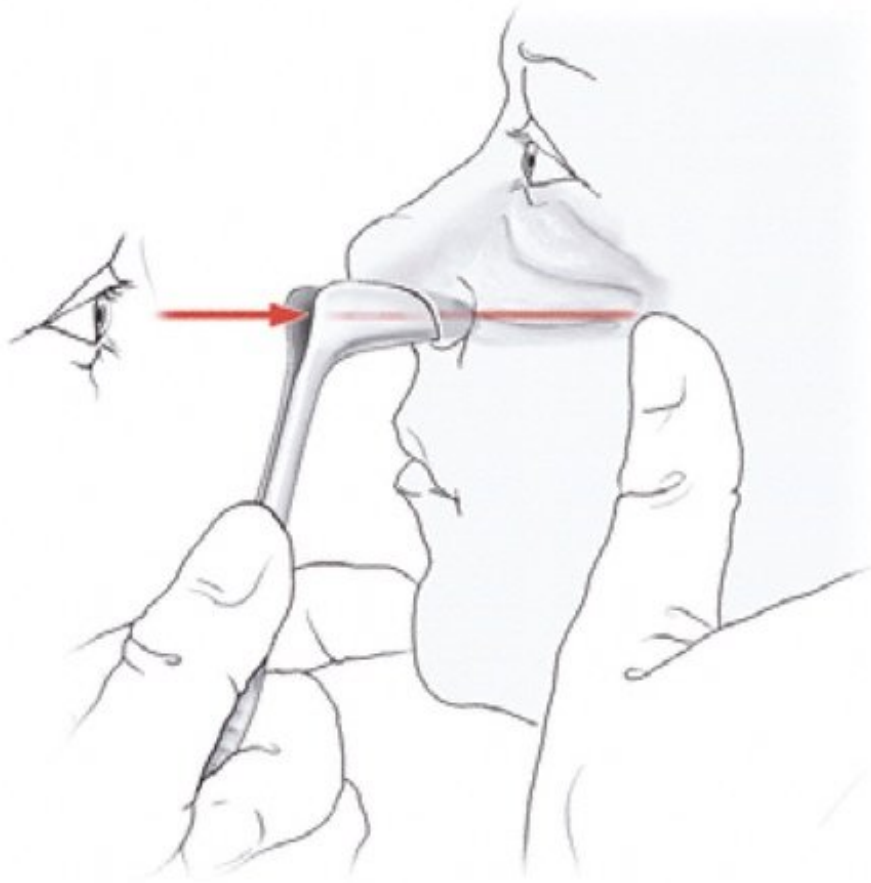
Ansicht von frontal



PROMETHEUS Lernatlas der Anatomie · Kopf und Neuroanatomie

M. Schünke, E. Schulte, U. Schumacher. Illustrator: K. Wesker

© Georg Thieme Verlag 2006 · Alle Rechte vorbehalten · www.thieme.de/prometheus



E Vordere und hintere Rhinoskopie

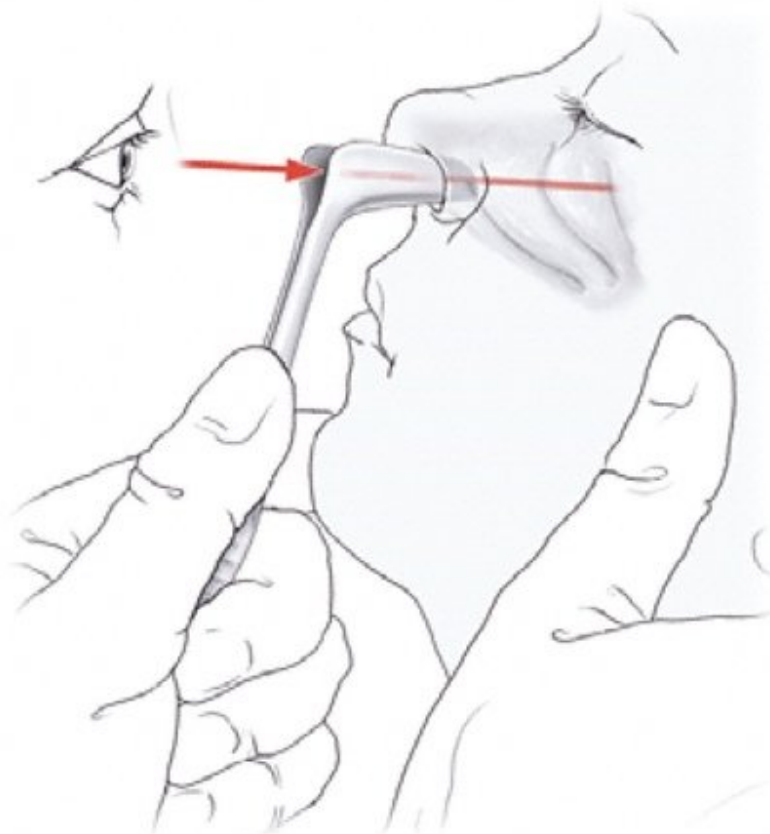
a Vordere Rhinoskopie: Position I



PROMETHEUS Lernatlas der Anatomie · Kopf und Neuroanatomie

M. Schünke, E. Schulte, U. Schumacher. Illustrator: K. Wesker

© Georg Thieme Verlag 2006. Alle Rechte vorbehalten. www.thieme.de/prometheus



a

II

E Vordere und hintere Rhinoskopie

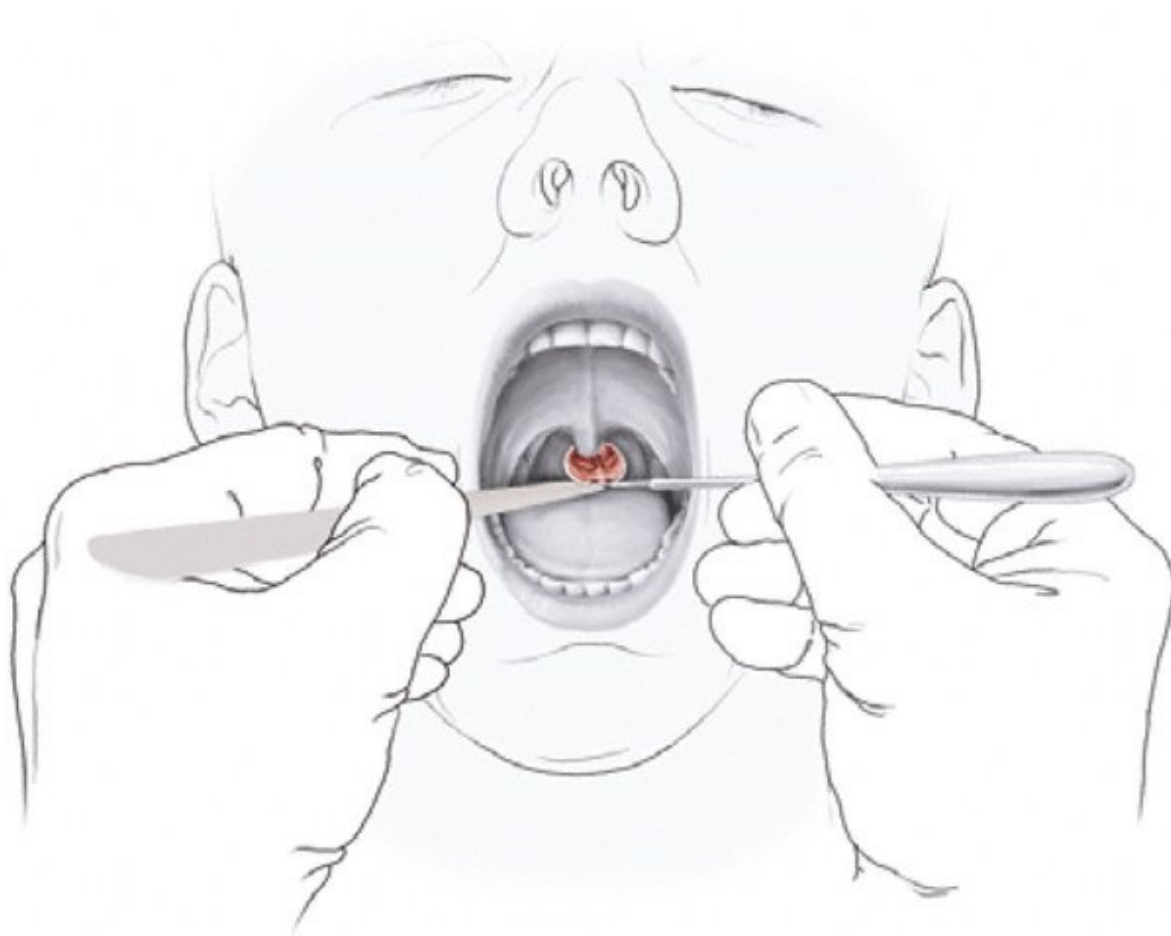
a Vordere Rhinoskopie: Position II



PROMETHEUS Lernatlas der Anatomie · Kopf und Neuroanatomie

M. Schünke, E. Schulte, U. Schumacher. Illustrator: K. Wesker

© Georg Thieme Verlag 2006 · Alle Rechte vorbehalten · www.thieme.de/prometheus



E Vordere und hintere Rhinoskopie

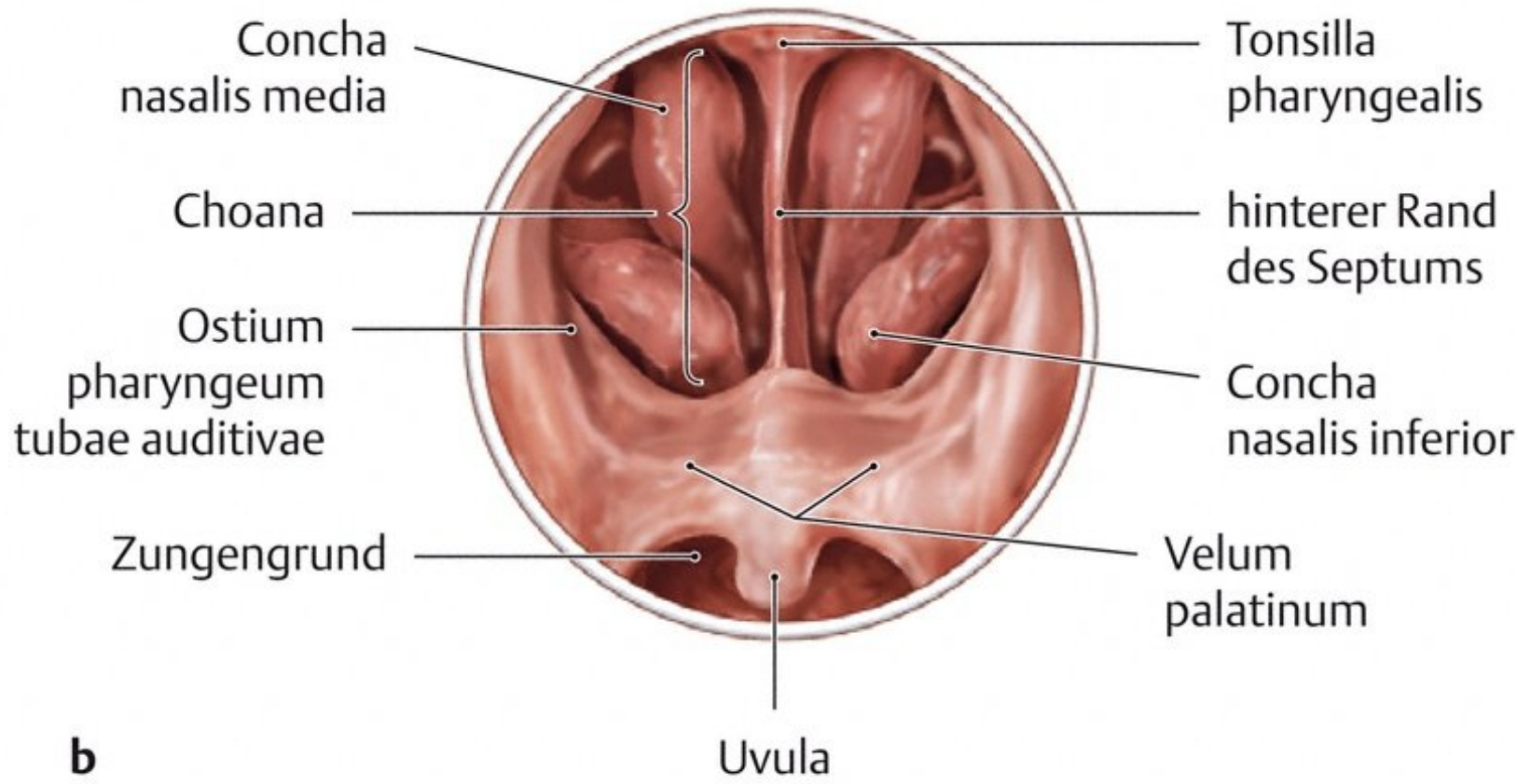
b Hintere Rhinoskopie: Technik



PROMETHEUS Lernatlas der Anatomie · Kopf und Neuroanatomie

M. Schünke, E. Schulte, U. Schumacher. Illustrator: K. Wesker

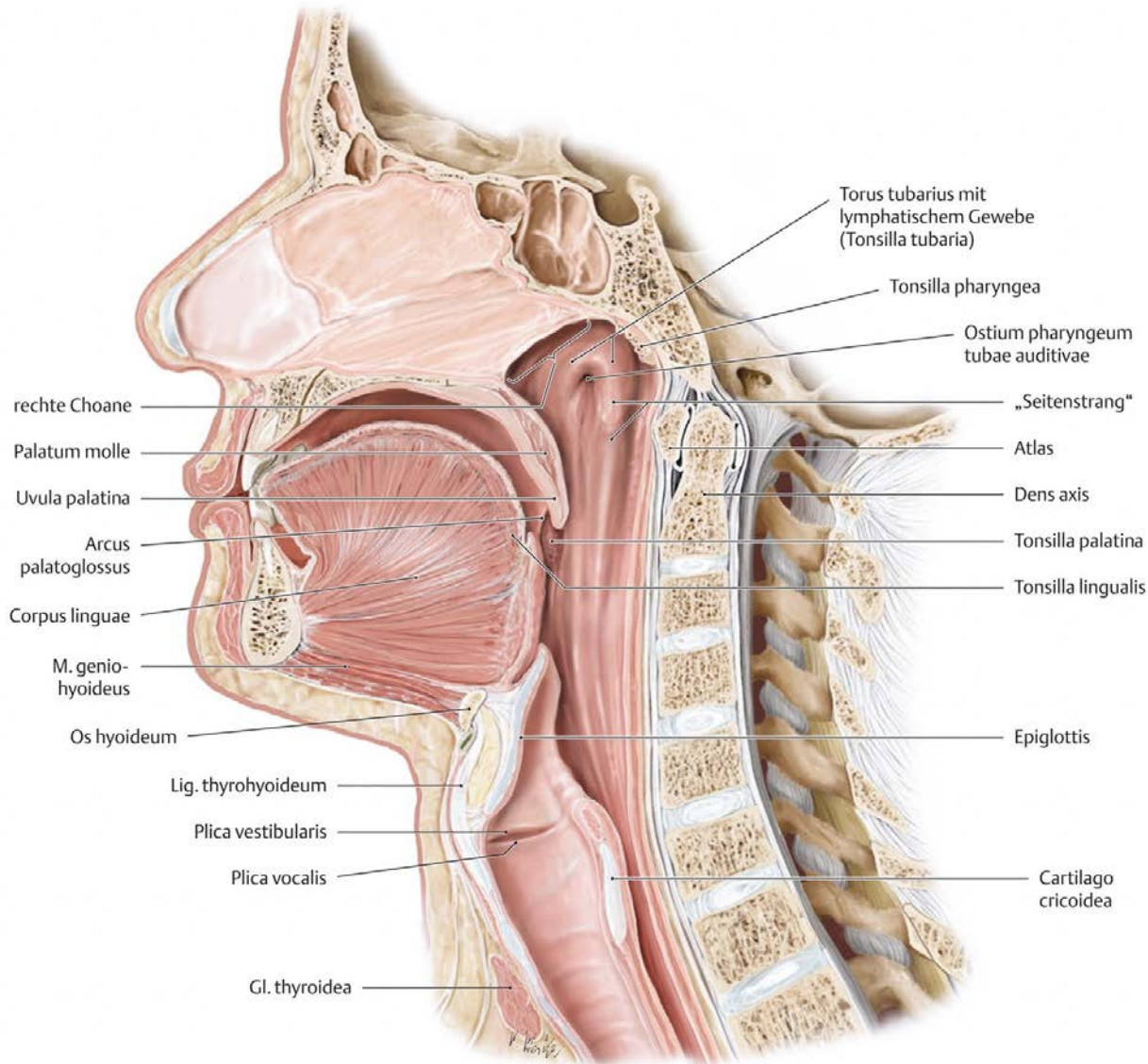
© Georg Thieme Verlag 2006 · Alle Rechte vorbehalten · www.thieme.de/prometheus



E Vordere und hintere Rhinoskopie

b Hintere Rhinoskopie: vergrößertes Spiegelbild





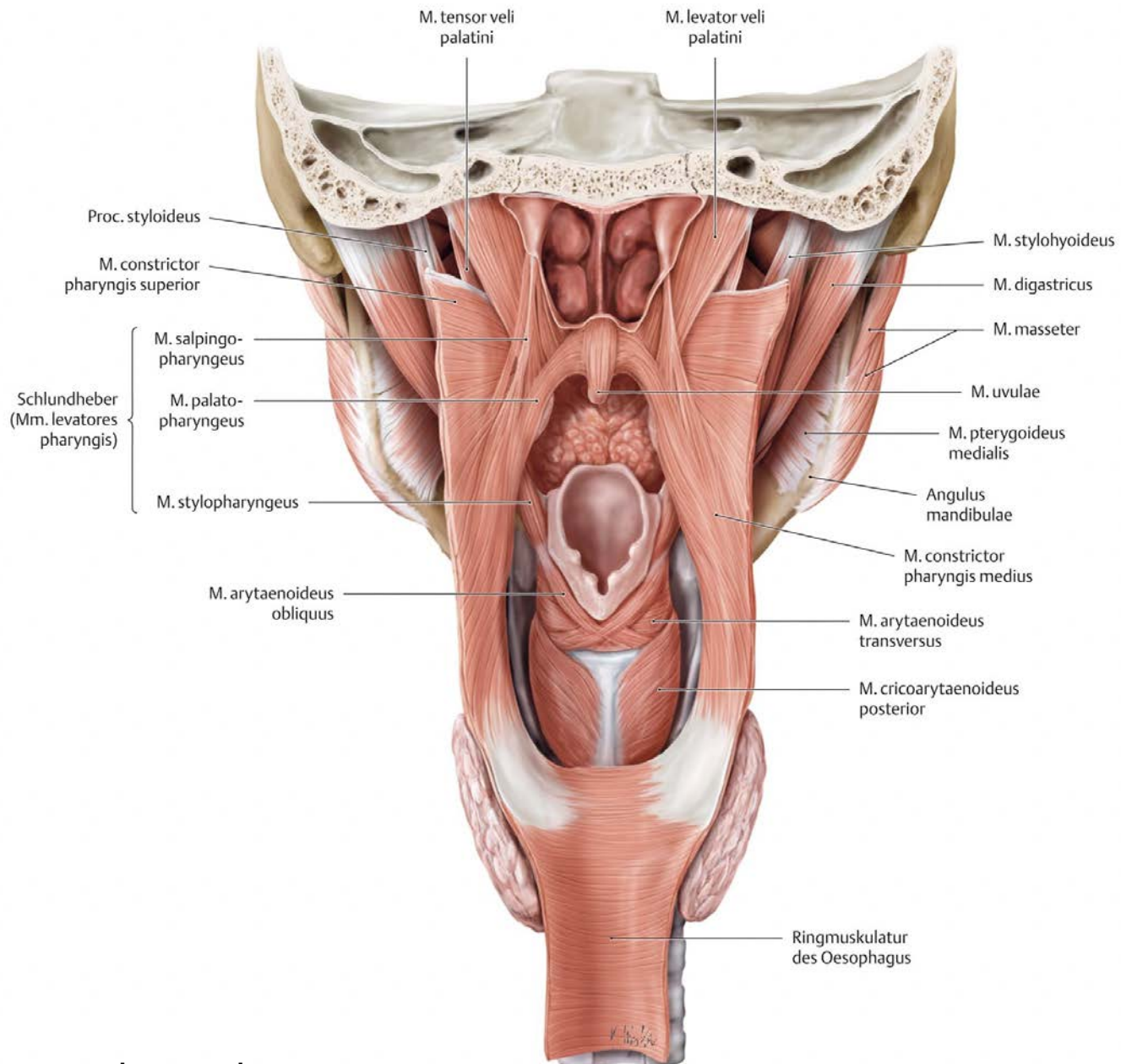
A Mediansagittalschnitt

Ansicht von links

Median section



PROMETHEUS Lernatlas der Anatomie · Hals und Innere Organe
 M. Schünke, E. Schulte, U. Schumacher. Illustrator: K. Wesker
 © Georg Thieme Verlag 2006 · Alle Rechte vorbehalten · www.thieme.de/prometheus



Pharyngeal muscles

C Muskulatur des Pharynx

Ansicht von dorsal

